

**SELÇUK ÜNİVERSİTESİ  
FEN BİLİMLERİ ENSTİTÜSÜ**

**78766**

**HİDRAZONLARIN VE TİYOSEMİKARBAZONLARIN  
*vic*-DİOKSİMLİ TÜREVLERİNİN ELDE EDİLMESİ VE ÖZELLİKLERİİNİN  
ARAŞTIRILMASI**

**Nursabah SARIKAVAKLI  
DOKTORA TEZİ  
KİMYA ANABİLİM DALI  
KONYA, 1998**

*78766*

**HİDRAZONLARIN VE TİYOSEMİKARBAZONLARIN  
*vic*-DİOKSİMLİ TÜREVLERİNİN ELDE EDİLMESİ  
VE ÖZELLİKLERİİNİN ARAŞTIRILMASI**

**Nursabah SARIKAVAKLI**

**DOKTORA TEZİ**

**KİMYA ANABİLİM DALI**

**1998**



SELÇUK ÜNİVERSİTESİ  
FEN BİLİMLERİ ENSTİTÜSÜ

**HİDRAZONLARIN VE TİYOSEMİKARBAZONLARIN  
vic-DİOKSIMLİ TÜREVLERİNİN ELDE EDİLMESİ VE ÖZELLİKLERİİNİN  
ARAŞTIRILMASI**

Nursabah SARIKAVAKLI

DOKTORA TEZİ  
KİMYA ANABİLİM DALI

Bu tez 15 / 04 / 1998 tarihinde aşağıdaki jüri tarafından oybirliği/ oyçokluğu ile  
kabul edilmiştir.

imza



Prof. Dr. Gazi İREZ

imza



Prof. Dr. Özer BEKAROĞLU

imza



Doç. Dr. H. İsmet UÇAN

(Danışman)

(üye)

(üye)

## **ÖZET**

### **Doktora Tezi**

# **HİDRAZONLARIN VE TİYOSEMİKARBAZONLARIN *vic*-DİOKSİMLİ TÜREVLERİNİN ELDE EDİLMESİ VE ÖZELLİKLERİİNİN ARAŞTIRILMASI**

**Nursabah SARIKAVAKLI**

**Selçuk Üniversitesi**

**Fen Bilimleri Enstitüsü**

**Kimya Anabilim Dalı**

**Danışman: Prof. Dr. Gazi İREZ**

**1998, 66 Sayfa**

**Jüri : Prof. Dr. Gazi İREZ**

**Prof. Dr. Özer BEKAROĞLU**

**Doç. Dr.H. İsmet UÇAN**

Bu çalışmada, litaretürde rastlanmayan dört adet yeni ligand ve bu ligandların bazı geçiş metalleri ile kompleksleri sentezlendi. Bu ligandlar; *anti*-glioksimhidrazin ( $\text{GH}_2$ ), *anti*-2-pridilaldehitglioksimhidrazon ( $\text{PGH}_2$ ), *anti*-furfuraldehitglioksimhidrazon ( $\text{FGH}_2$ ) ve  $\alpha$ -oksiminotiyosemikarbazidilasetaldehydiyyosemikarazon ( $\text{TSH}_2$ )'dir

Çalışmanın birinci kademesinde, *anti*-kloroglioksimin alkol-su (4:1) sisteminde, hidrazin hidrat ile reaksiyonu sonucu  $\text{PGH}_2$  ve  $\text{FGH}_2$  gibi *vic*-dioksimli hidrazon ligandları sentezlendi. Bu ligandların ( $\text{PGH}_2$  ve  $\text{FGH}_2$ )  $\text{Ni(II)}$ ,  $\text{Co(II)}$  ve  $\text{Cu(II)}$  iyonları ile metal-ligand oranı 1:2 olan tek çekirdekli kompleksleri izole edildi.

Çalışmanın ikinci kademesinde, *anti*-kloroglioksimin, alkol-su (1:1) sisteminde, tiyosemikarbazit ile reaksiyonu sonucu bir tür oksim-karazon olan  $\alpha$ -oksimino-tiyosemikarbazidilasetaldehydiyyosemikarazon ( $\text{TSH}_2$ ) ligandi sentezlendi. Bu ligandın  $\text{Ni(II)}$ ,  $\text{Co(II)}$  ve  $\text{Cu(II)}$  iyonları ile metal-ligand oranı 1:1 olan tek çekirdekli

kompleksleri elde edildi. Bunların yapıları,  $^1\text{H}$  NMR, IR Spektroskopisi, elemental analiz teknikleri ile aydınlatıldı.

**Anahtar Kelimeler:** *vic*-dioksim, hidrazin, hidrazone, tiyosemikarbazon, nikel(II), kobalt(II), bakır(II), kompleks.

## **ABSTRACT**

### **PhD Thesis**

# **THE INVESTIGATION OF PROPERTIES AND ISOLATION OF THIOSEMICARBAZONE AND HYDRAZONS WITH *vic*-DIOXIME DERIVATIVES**

**Nursabah SARIKAVAKLI**

**Selçuk University**

**Graduate School of Natural and Applied Sciences**

**Department of Chemistry**

**Supervisor : Prof. Dr. Gazi İREZ**

**1998, 66 Page**

**Jury : Prof. Dr. Gazi İREZ**

**Prof. Dr. Özer BEKAROĞLU**

**Doç. Dr.H. İsmet UÇAN**

In this work, four novel *vic*-dioxime compounds and their transition metal complexes which have not been met in the literature previously are synthesized. These ligands are *anti*-glyoximehydrazine ( $\text{GH}_2$ ), *anti*-2-pyridylaldehydeglyoximehydrazone ( $\text{PGH}_2$ ), *anti*-furfuraldehydeglyoximehydrazone ( $\text{FGH}_2$ ) and  $\alpha$ -oximinothiosemicarbazidylacetaldehydethiosemicarbazone ( $\text{TSH}_2$ ).

In the first part of this work, *anti*-glyoximehydrazine was synthesized by the reaction of *anti*-chloroglyoxime and hydrazine hydrate in alcohol-water 4:1 system. After that this ligand was reacted some aldehydes and *vic*-dioxime hydrazone like  $\text{PGH}_2$  and  $\text{FGH}_2$  were synthesized. Mononuclear complexes with a metal-ligand ratio of 1:2 were prepared with Ni(II), Co(II) and Cu(II) ions.

In the second part of the work,  $\alpha$ -oximinothiosemicarbazidylacetaldehydethiosemicarbazone ( $\text{TSH}_2$ ) which is a kind of oxime-carbazone were isolated by the

reaction of *anti*-chloroglyoxime and thiosemicarbazide in the alchol-water 1:1 solution. Mononuclear complexes of a metal ligand ratio of 1:1 were prepared with Ni(II), Co(II) and Cu(II) ions. The stuctures of ligands and complexes were determined by  $^1\text{H}$  NMR, IR spectroscopy and elemental analytical techniques.

**Key Words:** *vic*-dioximes, hydrazine, hydrazone, thiosemicarbazone, nickel(II), cobalt(II), copper(II), complexes.

## **ÖNSÖZ**

Bu çalışma, Muğla Üniversitesi Fen-Edebiyat Fakültesi Kimya Bölümü öğretim üyelerinden Prof. Dr. Gazi İrez'in yönetiminde yapılarak, Selçuk Üniversitesi Fen Bilimleri Enstitüsüne "Doktora" tezi olarak sunulmuştur. Ayrıca bu çalışmanın bir bölümü Selçuk Üniversitesi Araştırma fonu tarafından FBE 94/ 055 no'lu proje ile desteklenmiştir.

Doktora çalışmamın yönetimini kabul eden, çalışma konusunun seçiminde, hazırlanmasında, çalışmamın tüm sahalarında ve tezin hazırlanmasında yardımcılarını esirgemeyen ve bana herzaman destek olan saygıdeğer hocam sayın Prof. Dr. Gazi İrez'e teşekkür eder sonsuz saygı ve şükranlarımı sunarım

Çalışmalarım sırasında ilgi ve desteğini esirgemeyen Selçuk Üniversitesi Fen-Edebiyat Fakültesi Kimya bölümü öğretim üyelerinden sayın Doç. Dr. A. Dinçer Bedük'e teşekkür eder sonsuz saygı ve şükranlarımı sunarım.

Ayrıca, çalışmalarım sırasında ilgi desteklerini gördüğüm Selçuk Üniversitesi Kimya Bölümü öğretim üyelerinden Doç. Dr. H. İsmet Uçan'a, Yrd. Doç. Dr. M. Ali Deveci'ye, Arş. Grv. Ahmet Ayar'a, Arş.Grv. Şeref Ertul'a Niğde Üniversitesi Fen-Edebiyat Fakültesi Kimya Bölümü öğretim üyelerinden Yrd. Doç. Dr. Ali İhsan Pekacar'a, Muğla Üniversitesi Fen-Edebiyat Fakültesi Kimya bölümü öğretim üyelerinden Yrd. Doç. Dr. M. Ali Özler'e, Yrd. Doç. Dr. Bedrettin Mercimek'e, Arş.Grv. Ramazan Güp'e, Arş. Grv. Mustafa Teke'ye, Arş. Grv. Mehmet Taşbaş'a ve bölüm sekreterimiz Nahide Akçam'a teşekkür ederim.

Nursabah SARIKAVAKLI

## **İÇİNDEKİLER**

	<u>Sayfa</u>
<b>ÖZET</b>	i
<b>ABSTRACT</b>	iii
<b>ÖNSÖZ</b>	v
<b>1. GİRİŞ</b>	1
1.1. Oksimler	3
1.1.1. Oksimler ve özellikleri	3
1.1.2. Oksimlerin elde edilmesi	8
1.1.3. Oksimlerin reaksiyonları	9
1.1.4. <i>vic</i> -Dioksimlerin kompleksleri	11
1.2. Tiyosemikarbazonlar	15
1.2.1 Kimyasal özellikleri	15
1.2.1.1. Tiyosemikarbazon komplekslerinde bağlanma	16
1.2.2. Geçiş metal kompleksleri	19
1.2.2.1. $d^1$ kompleksleri	19
1.2.2.2. $d^2$ kompleksleri	20
1.2.2.3. $d^3$ kompleksleri	20
1.2.2.4. $d^4$ kompleksleri	21
1.2.2.5. $d^5$ kompleksleri	21
1.2.2.6. $d^6$ kompleksleri	22

1.2.2.7. $d^7$ kompleksleri	23
1.2.2.8. $d^8$ kompleksleri	26
1.2.2.9. $d^9$ kompleksleri	28
1.2.2.10. $d^{10}$ kompleksleri	30
<b>1.3. Hidrazinler ve Hidrazonelar</b>	<b>32</b>
1.3.1. Hidrazinler	32
1.3.2. Hidrazonelar	35
1.3.2.1. Hidrazoneların özellikleri	35
<b>1.3. Çalışmanın Amacı ve Önemi</b>	<b>38</b>
<b>2. KULLANILAN MADDELER VE ALETLER</b>	<b>40</b>
2.1. Kullanılan Maddeler	40
2.2. Kullanılan Aletler	40
<b>3. DENEL BÖLÜM</b>	<b>41</b>
3.1. Ligandların Sentezi	41
3.1.1. <i>anti</i> -glioksimhidrazin ( $GH_2$ )	41
3.1.2. <i>anti</i> -2-pridialdehitglioksimhidrazone ( $PGH_2$ )	42
3.1.3. <i>anti</i> -furfuraldehitglioksimhidrazone ( $FGH_2$ )	42
3.1.4. $\alpha$ -Oksiminotiyosemikarbazidilasetaldehittiyosemikarbazon ( $TSH_2$ )	43
3.2. Ligandların Metal Komplekslerinin Sentezi	44
3.2.1. $GH_2$ , $PGH_2$ , $FGH_2$ ve ligandlarının Ni(II), Co(II) ve Cu(II) kompleksleri	44
3.2.2. $TSH_2$ Ligandının Ni(II), Co(II) ve Cu(II) kompleksleri	44

<b>4.</b>	<b>TARTIŞMA VE SONUÇ</b>	<b>46</b>
<b>4.1.</b>	<b><i>anti</i>-Glioksimhidrazin (<math>\text{GH}_2</math>), <i>anti</i>-2-pridilaldehitglioksimhidrazon (<math>\text{PGH}_2</math>), <i>anti</i>-furfuralaldehitglioksimhidrazon (<math>\text{FGH}_2</math>) ve bu ligandların Ni(II), Co(II) ve Cu(II) kompleksleri</b>	<b>46</b>
<b>4.2.</b>	<b><math>\alpha</math>-Oksiminotiyosemikarbazidilasetaldehydiyyosemikarbazon (<math>\text{TSH}_2</math>) ve bu Ligandın Ni(II), Co(II) ve Cu(II) kompleksleri</b>	<b>49</b>
<b>5.</b>	<b>İLGİLİ TABLOLAR</b>	<b>52</b>
	<b>Tablo 1. <math>\text{GH}_2</math>, <math>\text{PGH}_2</math>, <math>\text{FGH}_2</math>, <math>\text{TSH}_2</math> Ligandlarının ve komplekslerin Bazı fiziksel özellikleri ve elemental analiz sonuçları</b>	<b>53</b>
	<b>Tablo 2. <math>\text{GH}_2</math>, <math>\text{PGH}_2</math>, <math>\text{FGH}_2</math>, <math>\text{TSH}_2</math> ligandlarının ve komplekslerinin IR değerleri</b>	<b>53</b>
	<b>Tablo 3. <math>\text{GH}_2</math>, <math>\text{PGH}_2</math>, <math>\text{FGH}_2</math>, Ligandlarının DMSO-d<sub>6</sub> içindeki <sup>1</sup>H NMR spektrum değerleri</b>	<b>54</b>
	<b>Tablo 4. <math>\text{TSH}_2</math> Ligandının ve komplekslerinin IR değerleri</b>	<b>55</b>
<b>6.</b>	<b>ÖZET</b>	<b>57</b>
<b>7.</b>	<b>KAYNAKLAR</b>	<b>58</b>
<b>8.</b>	<b>ÖZGEÇMİŞ</b>	<b>66</b>

## 1. GİRİŞ

Organik ve inorganik bileşiklerin kaynaşması ile meydana gelen koordinasyon bileşikleri, bu iki bilimdalı arasındaki sınırı ortadan kaldırmıştır. Bir metal iyonunun, elektron verici gruplar ile bağ oluşturması sonucu meydana gelen maddelerin, konfigürasyonlarının ve yapılarının aydınlatılması, bu araştırma sahasında, önemli bir yer tutmaktadır.

Geçiş metalleri ile farklı donör grumlara sahip ligandların meydana getirdikleri komplekslerin, yapı ve özelliklerinin incelenmesi, bilim ve teknikte önemi artarak devam etmektedir (Bekaroğlu 1972). Biyolojik mekanizmalarda meydana gelen olayların ve biyolojik mekanizmalarda bulunan fonksiyonlu maddelerin yapılarının aydınlatılmasında model bileşik olarak kullanılması, sanayide kullanım oranı ve alanının gün geçtikçe artması, kanser araştırmalarında; ligandların ve bazı metal komplekslerinin antitümör etkisinin ortaya çıkması, bu komplekslerin, özellikle *vic*-dioksimlerin geçiş metalleri ile vermiş oldukları komplekslerin, üzerindeki araştırmaların artmasına sebep olmuştur.

Bu konuda ilk çalışma Tschugaeff tarafından 1905 yılında dimetilglioksim'in Ni(II) kompleksinin senteziyle başlamış ve 1907 yılında muhtelif metaller ile komplekslerin izole edilmesi ile günümüze kadar bu çalışmalar süre gelmiştir (Tschugaeff 1907).

Özellikle dimetilglioksimin Co(III) ile oluşturduğu kompleks, B<sub>12</sub> koenzim komplekslerine model bileşik olması sebebiyle, *vic*-dioksim bileşikleri üzerindeki çalışmaların yoğunlaşmasına sebep olmuştur (Schrauzer ve Windgassen 1966, Tan ve Bekaroğlu. 1983). 1960 yıllarda bu komplekslerin

oluşturduğu sağlam yapının ve  $\text{NaBH}_4$  gibi indirgeyici maddelerle kobaltün  $1+$  değerliğine kadar, kompleks parçalanmadan, indirgenebilme özelliği,  $\text{B}_{12}$  vitamininin ve koenzimlerinin biyokimyasal mekanizmalarının açıklanmasında model bileşik olarak kullanılabilceğini gösterilmiştir (Schrauzer ve Windgassen 1967, Tan ve Bekaroğlu 1983). Ayrıca *vic*-dioksim metal komplekslerinin, biyolojik aktivite ve yarı iletkenlik özellikleride rapor edilmiştir (Gök ve Özcan 1991).

Semikarazonlar ve tiyosemikarazonlar; semikarbazidlerin veya tiyosemikarbazidlerin aldehit veya ketonlar ile kondenzasyondan elde edilen bileşiklerin sınıfını oluşturur. Kondenzasyon için kullanılan aldehit veya ketonun cinsine bağlı olarak, semikarazonlar ve tiyosemikarazonlar metal iyonları ile tek dişli, iki dişli veya çok dişli şelatlar oluşturabilir. Bu ligandlardan oluşan renkli kompleksler metal iyonlarının seçici ve hassas olarak tayininde kullanılır (Klayman ve Lin 1984, Kumar ve ark. 1993) .

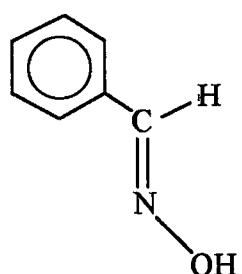
Semikarazon ve tiyosemikarazonlar ilk defa antitüberküloz aktiflikleri ile dikkat çekmişlerdir. Bu özelliğinin anlaşılmasıından sonra bu bileşiklerin Farmakolojisi üzerine çok sayıda çalışma yapılmıştır. Bunların aktifliğinin, biyolojik sistemlerde eser halde bulunan metal iyonları ile şelat oluşturmalarından ileri geldiği düşünülmektedir (Garg ve Jain 1989, Garg ve ark. 1990, Garg ve ark. 1991, Patel ve ark. 1992, Bhatia ve ark. 1993 Dhumwad ve Gourdar 1993, Kumar ve Chandra 1993, Kanagaraj ve Rao 1993, Pandeya ve Dimmock 1993 , Patel ve ark. 1993, Atalay ve Özkan 1994 , Abuel-Reash ve ark. 1994)

## 1.1 Oksimler

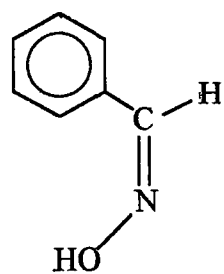
### 1.1.1 Oksimler ve özellikler

$(R_1R_2C=NOH)$  Oksiimin adının kısaltılması ile ortaya çıkan oksimler genel bir isimlendirme olup, taşındıkları azometin ( $>C=N-$ ) grubundan dolayı zayıf bazik, hidroksil ( $O-H$ ) grubundan dolayı da zayıf asidik özellik gösteren amfoter maddelerdir (Chakravorty 1974). Amid oksimlerde, R gruplarından birinin yerine NH allığından molekülün bazikliğinin hafifçe artmasına rağmen, bu oksimler de amfoterdir (Chakravorty 1974).

Oksimler, basitçe aldehit ve ketonların hidroksilaminle bir kondenzasyon ürünü olarak tanımlanabilir. Önceleri, aldehit ve ketonlardan türetilen oksimler, bu aldehit ve ketonların sonuna oksim kelimesi eklenerek isimlendiriliyordu; asetaldoksim ( $CH_3CH=NOH$ ), asetonoksim [ $(CH_3)_2C=NOH$ ]; gibi. Bugün ise, daha çok ana grup keton veya aldehit olmak şartıyla “hidroksiimino” eki ile isimlendirilmektedir. Örneğin,  $[CH_3C(N-OH)-COOH]$  bileşiği “2-hidroksiiminopropiyonik asit” olarak isimlendirilir.



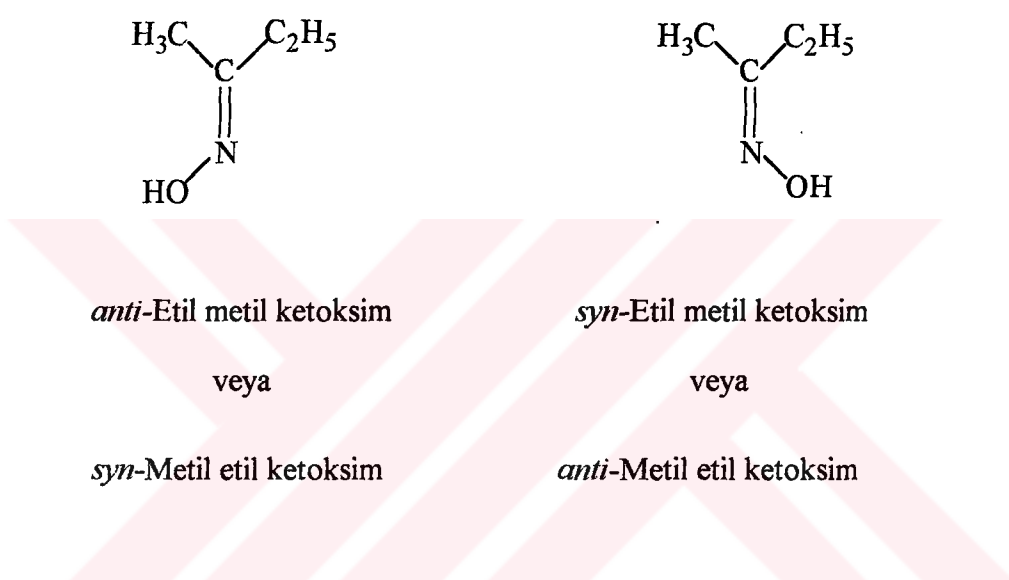
*syn*-Benzaldoksim



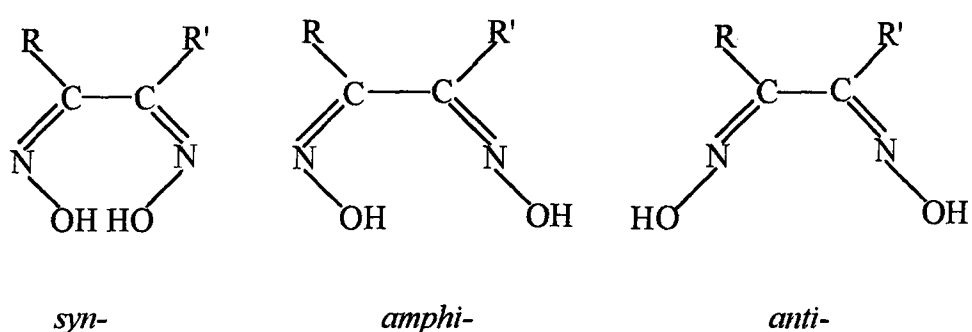
*anti*-Benzaldoksim

Şekil 1.1 Basit oksimlerde geometrik izomeri

Basit oksimlerin geometrik izomerleri *syn-* ve *anti-* önekleri ile gösterilir (Smith 1966). Benzaldoksimde olduğu gibi *syn-* eki, aldehitlerle, hidrojen ve hidroksilin aynı tarafta, *anti-* eki ise, hidrojen ve hidroksilin ters tarafta olması durumunda kullanılır, Şekil 1.1. Keton türevleri ile ketoksim grupları bulunan maddelerde ise, bu ekler referans olarak alınan grubun yerine göre seçilir, Şekil 1.2.



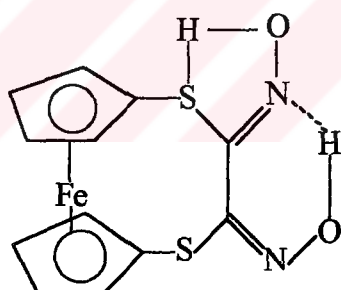
Şekil 1.2 Ketoksimlerde geometrik izomeri



Şekil 1.3 *vic*-Dioksimlerde geometrik izomeri

*vic*-Dioksimlerde ise, bu ekler; O-H gruplarının birbirine göre pozisyonlarına bağlı olarak kullanılmaktadır (Nesmeyanov ve Nesmeyanov 1974), Şekil 1.

Birbirlerine dönüşüm enerjileri farkı, yapıya bağlı olarak, çoğunlukla az olduğundan bu formları (*syn*-, *anti*- ve *amphi*-) izole etmek güç, ancak bazlarında ayırmak mümkün olmaktadır. Nitekim bugüne kadar yapılan çalışmalarda elde edilen yeni tip *vic*-dioksim bileşiklerinin pek azında, yalnız *anti*- ve *amphi*- formunu ayırarak spektroskopik olarak karakterize etmek mümkün olmuştur. Çeşitli makrosiklik halka ihtiva eden çok sayıdaki *vic*-dioksim bileşiklerinde genellikle en kararlı olan *anti*- formu izole edilebilmiştir (Bekaroğlu 1990). Diğer taraftan, ditioferrocenophan grubu ihtiva eden *vic*-dioksimlerde, azot üzerinden hidrojen köprüsünün oluşması suretiyle, altılı bir halkanın teşkili, *amphi*- formunu daha kararlı kıldığından, büyük oranda bu form ele geçerken, Şekil 1.4, eser miktarda *anti*- formuna rastlanmıştır (Ertaş ve ark. 1987).

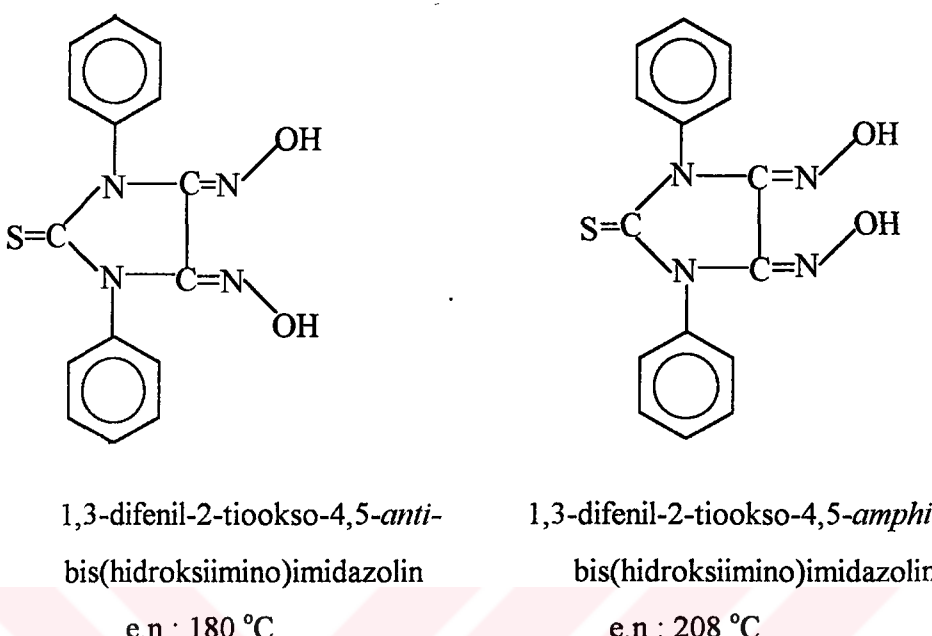


*amphi*-1,4-Dithia-2,3-bis(hidroxyimino)[4](1,1')ferrocenophane

Şekil 1.4

Nitekim bu bileşigin  $^1\text{H}$  NMR spektrumunda, ferrocen halkalarının karakteristik bandlarının yanı sıra  $\text{D}_2\text{O}$  ile kaybolan 13.28 ppm'de ( $\text{OH}$ ) porotonu *amphi*-izomeri için karakteristiktir. Bununla beraber genellikle; *anti*- formlarının erime noktası, *amphi*- ve *syn*- formlarına nazaran daha yüksektir (Papafil ve ark. 1956,

Gök ve Bekaroğlu 1982). Ancak bunun istisnaları vardır (Chakravorty 1974) ve bununla ilgili bir örnek, Şekil 1.5'de görülmektedir (Serin ve Bekaroğlu 1983).



Şekil 1.5

Oksimler, genellikle, renksiz, orta derecede eriyen, suda az çözünen, sadece molekül ağırlığı küçük olanlar dikkate değer derecede uçucu olan maddelerdir (Chakravorty 1974).

Oksimler zayıf asidik özellik gösterdiklerinden dolayı sulu NaOH'de çözünür, CO<sub>2</sub> ile çöker. Basit oksimlerin pKa'ları 10-12 değerleri arasındadır. *vic*-Dioksimler dikkate değer derecede asidiktirler. Bunların pKa'ları ise, 7-10 arasında değişir. Çünkü  $\alpha$ -keto grubu asit gücünü artırmaktadır (Hüseyinzade ve İrez 1990). Bunun yanında, oksimlerin yapılarınınındaki C=N gruplarının bazik karakterli oluşu sebebiyle, konsantrasyonlu minerel asitlerde çözünürler, fakat su ile seyreltilerinde çöker. Böylece hidroklorür kristalleri izole edilir (Hüseyinzade ve İrez 1990).

Oksimlerin IR spektrumlarında C=N bağına ait gerilim titreşim bandları 1660-1600 cm<sup>-1</sup>, N-O bağına ait gerilim titreşimleri 1000-930 cm<sup>-1</sup> civarında

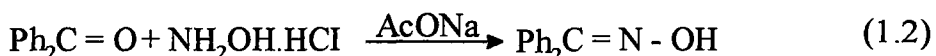
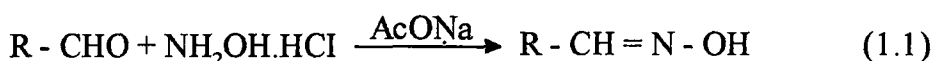
görülmektedir (Caton ve Banks 1967, Gül ve Bekaroğlu 1982, Bank ve Bekaroğlu 1983, Ertaş ve ark. 1986, Mercimek ve Özcan 1990, Karataş ve ark. 1991 Karataş ve ark. 1992). Seyretilik çözeltilerde ve gaz halinde IR spektrumları alındığında oksim O-H grubuna ait gerilme absorbsiyonu  $3600\text{-}3500\text{ cm}^{-1}$ de görülmektedir. Bunun sebebi O-H grubunun serbest olmasındanandır. *vic*-Dioksimlerde O-H gruplarının birbirine göre üç farklı pozisyonda bulunmaları mümkündür. O-H gerilme absorbsiyonu, *anti*-formundaki oksimlerde *amphi*- formundaki oksimlere göre daha yüksek frekansta bulunur (Avram ve Mateescu 1972, Serin ve Bekaroğlu 1983).

Aldoksimlerde, *syn*- ve *anti*- ekleriyle iki farklı yapının bulunduğu  $^1\text{H}$  NMR spektromu yardımıyla kesin olarak belirlenmiştir. Çeşitli aldoksimlerin spektromalarında aldehit protonununa ait C-H kimyasal kayma değerleri birbirinden 0.6 ppm uzaklıkta olan bir dublet şeklinde çıkmaktadır. İki farklı absorbsiyonun aynı anda olması *syn*- ve *anti*- izomerlerinin varlığı ile açıklanabilir (Burger 1973, Gök 1981). *vic*-Dioksimlerde stereo izomerlerinin tanınmasında  $^1\text{H}$  NMR spektrumları, özellikle, yararlı olmaktadır. *anti*-Dioksimlerde O-H piki geniş bir singlet halinde ortaya çıkarken, *amphi*-dioksimlerde O--H-N hidrojen köprüsü oluşumu sebebiyle, protonlardan biri, daha zayıf alana kaymakta, diğeri normal yerinde çıkmaktadır. Böylece O-H protonları için iki tane singlet görülmektedir (Pata 1970, Serin ve Bekaroğlu 1983). Simetrik olarak sübstitüe olmamış *vic*-dioksimlerde, O-H protonları, iki ayrı singlet halinde görülür (Uçan ve Mirzaoglu 1990, Hosseinzadeh ve İrez 1991)

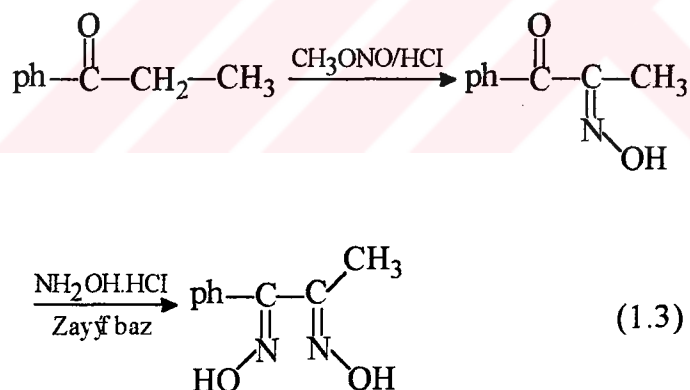
Metilglioksim, fenilglioksim, N-fenilaminoglioksim gibi mono-süsbtitüe oksimlerde aldehit protonuna komşu O-H protonu; sübstitüe oksimlerdeki O-H protonundan daha kuvvetli alanda ortaya çıkar. Bu iki singlet arasındaki fark 0.6 ppm'e kadar ulaşmaktadır.

### 1.1.2 Oksimlerin elde edilmesi

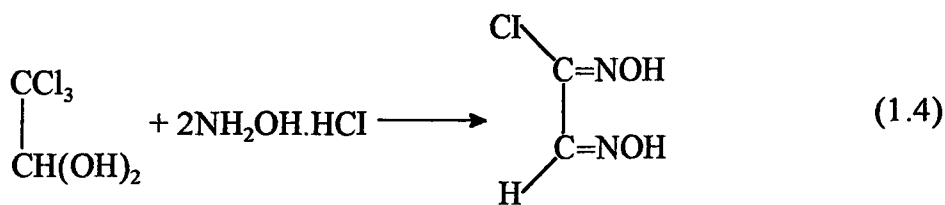
a) Aldehit ve ketonların hidroksilamin ile reaksiyonundan; eskiden beri, bu yöntemle oksimler elde edilmektedir. Reaksiyon, sulu alkollü ortamda, oda sıcaklığından kaynama sıcaklığı şartlarına kadar ve optimum pH'larda gerçekleştirilebilir (Gök 1981), (1.1) ve (1.2).



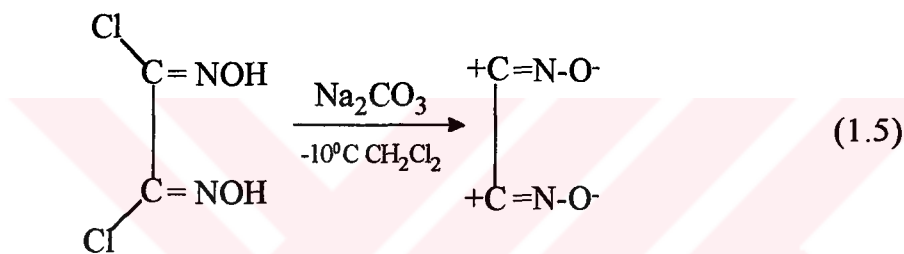
b) Nitrolama metodu;  $\alpha$ -ketoksimlerin hazırlanmasında, oldukça kullanışlı bir yoldur. Aktif metilen gruplu bileşiklerden yararlanılır (Gök 1981). Metod daha ileriye götürülerek dioksimler de elde edilir, (1.3).



c) Kloralhidrat ve hidroksilamin hidroklorürden çıkışarak, kloroglioksim izomerleri elde edilir (Gök 1981, Britzinger ve Titzmann 1952), (1.4).

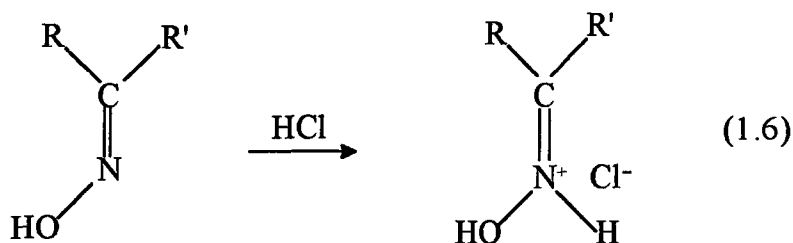


d) Disiyan-di-N-oksit katılmasıyla; Dioksimlerin elde edilmesi için çok kullanışlı fakat dikkat isteyen bir yoldur. Grundman ve çalışma arkadaşları tarafından aminlere ve 1,2-diaminlere disiyan-di-N-oksit katılması ile sübstitüe amidoksimler (Grundman ve ark. 1965) elde edilmiştir, (1.5).

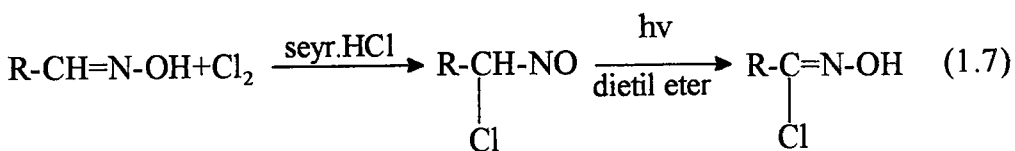


### 1.1.3 Oksimlerin reaksiyonları

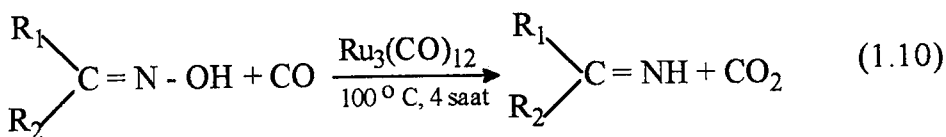
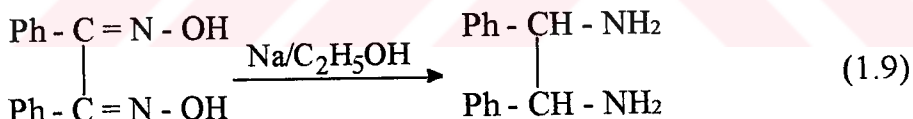
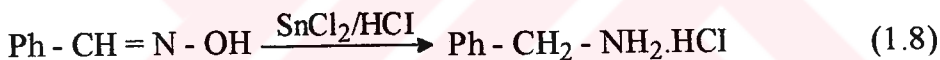
a) Oksimler, kuvvetli mineral asitlerle, tuzlarına dönüşürler (Gök 1981). Aynı zamanda, izomerik dönüşüm yapar. *syn-* ve *amphi-* izomerleri HCl ile *anti-* izomerlerine dönüşür, (1.6).



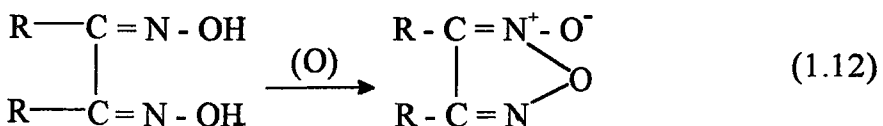
b) Aldoksimlerin normal klorlanmasından, kloronitrozo bileşigi üzerinden yürüyen reaksiyon sonunda, hidroksamik asit türevleri elde edilir (Gök 1981), (1.7).



c) Oksimler, çeşitli reaktiflerle, imin basamağından geçerek, primer aminlere kadar indirgenebilir. *vic*-Dioksimler de kolayca diaminlere indirgenebilir (Gök 1981), (1.8) ve (1.9). Ayrıca, rutenum komplekslerinin kataliziörüğünde, ketoksim, ketiminlere indirgenir (Akazome ve ark. 1990), (1.10).

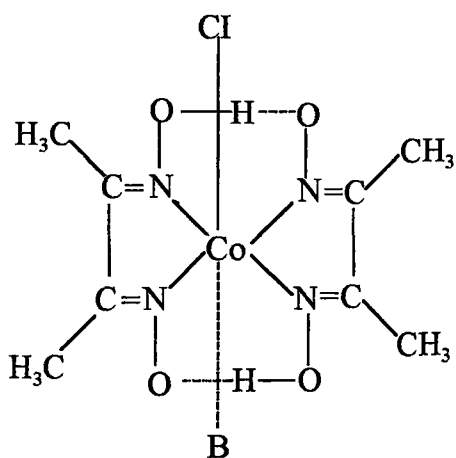


d) Aldoksimlerde, C-H bağıının oksitlenme kararsızlığından dolayı, değişik ürünler oluşur. Aldoksimler  $-78^\circ \text{C}$  oksitlendiğinde, nitril oksitleri verir, (1.11). *vic*-Dioksimler ise, oksitlendiklerinde, furoksanları verir (Gök 1981), (1.12).



#### 1.1.4 *vic*-Dioksimlerin kompleksleri

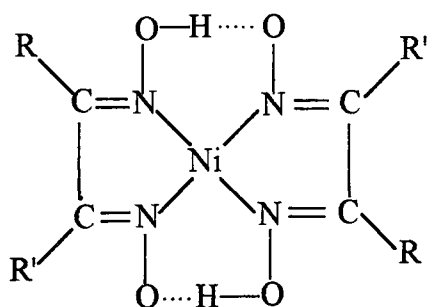
Koordinasyon bileşikleri içerisinde *vic*-dioksimlerle yapılan kompleksler ayrı bir önem taşır. 1905 yılında L.Tschugaeff dimetilglioksimin Ni(II) ile verdiği reaksiyonları inceleyerek oksimlerin geçiş metal kompleksleri konusunda bir çığır açmıştır. Yine, 1907 yılında, dimetilglioksimin Co(III) ile vermiş olduğu kompleksler, Tschugaeff tarafından izole edilmesi (Tschugaeff 1907), biyokimyasal mekanizmaların aydınlatılması için bir yaklaşım modeli olması bakımından önemli bir olay olmuştur. Bu yapıların formülleri aynı araştırmacı tarafından,  $\text{CoX}(\text{D}_2\text{H}_2)\text{B}$  olarak verilmiştir, Şekil 1.6. Burada X; bir asit anyonu ( $\text{Cl}^-$ ,  $\text{Br}^-$ ,  $\text{CN}^-$ , v.b.), B; bir organik veya organometalik baz (pridin, imidazol, tirifenilfosfin v.b.) ifade eder.



Şekil 1.6

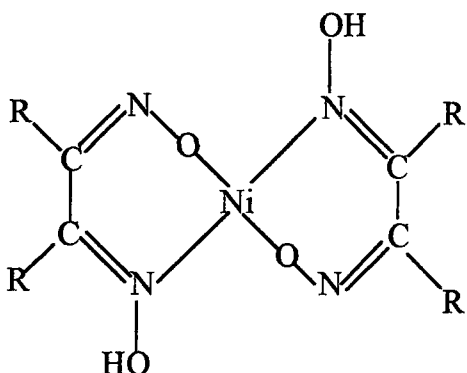
Bu komplekslerde önceleri açık formül verilmemesine rağmen oktaedral olduğu tahmin edilmiştir. Eskiden beri bilinen dimetilglioksim son yıllarda, metal kompleksleri üzerine yapılan incelemelerde ilgi çekici kompleksler verdiği tesbit edilmiştir. Co(II) kompleksinin suda çözülmüş hava ile Co(III)'e yükseltgenmesi sonucu elde edilen ürün, HCl asit ile kristallendirildiğinde "Tris(oksamidoksim)kobalt(III) klorür" ayrılır. Bu kompleksin yapısının oktaedral olduğu X-ışınları ile aydınlatılmıştır. Şekil 1.6'da, iki dimetilglioksim molekülü bir kare düzlem yapı oluşturmaktır ve her bir dioksim molekülünün oksim gruplarında bulunan hidrojenler, bir hidrojen köprüsü yaparak sağlam bir yapı oluşturmaktadır. Bu yapı, komplekse öyle bir kararlılık kazandırır ki, kompleks bozulmadan kobalt (1+) değerliğine kadar indirgemek mümkündür. Bu özelliğin fark edilmesinden sonra, biyokimyasal reaksiyon mekanizmalarının aydınlatılması açısından bis(dimetilgli-oksim)kobalt(III) kompleksi büyük önem kazanarak geniş ölçüde çalışmalar yapılmıştır (Schrauzer 1966, Bekaroğlu 1974). Benzer çalışmalar, 1,2-asenaftilendioksimlede yapılmıştır (Tan ve Bekaroğlu 1983).

*vic*-Dioksimlerin, Ni(II) ile verdikleri kompleksler, bu yüzyılın başından beri ilgi uyandırmıştır. Özellikle Ni(II)'nin dimetilglioksimle kantitatif tayini bu ilginin esas sebebi olmuştur. Genellikle *vic*-dioksimlerin *anti*- formları Ni(II) ile kiremit kırmızısı (Chakravorty 1974, Gök ve Demirbaş 1989), Şekil 1.7, *amphi*- formlarıyla yeşilimsi-sarı kompleksler oluşturur (Smith 1966, Gök ve Bekaroğlu 1982, Ertaş ve ark 1987), Şekil 1.8.



Şekil 1.7 *vic*-Dioksimlerin *anti*- formlarının Ni(II) kompleksi

Fakat bu iki formun komplekslerinin birbirine dönüşüm enerjilerinin düşük olması sebebiyle kolayca birbirlerine döndürilmektedir. Düşük enerjili olan *anti*- formuna dönüşüm genellikle hakim ise de, bunun istisnaları vardır (Serin ve Bekaroğlu 1983, Ertaş ve ark 1987).



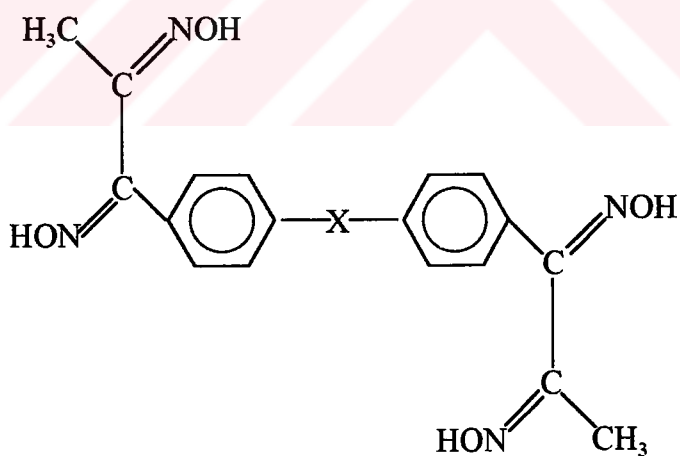
Şekil 1.8 *vic*-Dioksimlerin *amphi*- formlarının Ni(II) kompleksi

*vic*-Dioksimlerin Zn(II) ve Cd(II) gibi  $d^{10}$  elektron dağılımına sahip metallerle, çoğunlukla metal-ligand oranı 1:2 olan kompleksler teşekkül eder (Karadeniz ve Bekaroğlu 1983). Bununla birlikte, ethane-1,2-bis(thioglyoxime)'in Zn(II) ile metal-ligand oranı 2:1, Cd(II) ile ise, metal-ligand oranı 4:1 olan kompleksler vermektedir (Koçak ve Bekaroğlu 1984).

Crown eter grubu ihtiva eden çeşitli *vic*-dioksimler sentezlenmiş ve bunların katyonik heteronükleer kompleksleri izole edilmiştir (Gül ve Bekaroğlu 1983, Ahsen ve ark. 1987). Burada crown eter grubunun alkali metallerle ( $\text{Na}^+$  veya  $\text{K}^+$ ) katyonik kompleks oluşturmazı, *vic*-dioksimlerinin geçiş elementleri ile oluşturduğu komplekslerin suda çözünmesini sağlamış, böylece, komplekslerin yapılarının aydınlatılmasında, çözeltilerinden faydalananmak mümkün olmuştur. *anti*-Diklorglioksim ile 1,9-dimercapto-3,7-dithianonane'nin reaksiyonu sonucu 2,3-bis(hidroxyimino)-1,4,7,11-tetrathiacyclotridecane elde edilmiş ve Ni(II), Co(II), Co(III), Cu(II) ve Pd(II) kompleksleri izole edilmiştir.

Burada Ni(II), Co(II) ve Co(III) metal-ligand oranı 1:2 olan kompleksler vermesine karşılık; Cu(II) ve Pd(II); metal-ligand oranı 3:2 olan üç çekirdekli kompleksler ve tek çekirdekli komplekslerin Cu(II) ve Pd(II) ile reaksiyonu sonucu heterotrinükleer kompleksler vermesi ilginçtir (Ahsen ve ark. 1990).

*vic*-Dioksimler ve kompleksleri üzerine çalışmalar oldukça fazlamasına rağmen, literatürde tetraoksim bileşiği olarak sentezi yapılmış ligand sayısı çok azdır. Şekil 1.9'da genel yapısı görülen [X : O veya X : (CH<sub>2</sub>)<sub>n</sub>, n = 1, 2, 3] çeşitli tetraoksimler sentezlenmiş ve Ni(II) ile vermiş olduğu polimerik kompleksler incelenmiştir (Deveci ve ark. 1991). Yine benzidin'e iki *anti*-kloroglioksim katılması ile sentezlenen 1,1'-bifenil-4,4'-bis(aminoglioksim)'de bir tetraoksim olup, bazı geçiş metalleri ile polimerik kompleksler vermiş olduğu görülmüştür (İrez ve Bekaroğlu 1983). Polimerik *vic*-dioksim ise, literatürde oldukça azdır. Bazı aromatik diaminer, *anti*-diklorglioksimin reaksiyonu sonucu, bazı poliamidoksimler ve bunların Ni(II), Co(II) ve Cu(II) kompleksleri sentezlenmiştir (Karataş ve İrez 1993).



Şekil 1.9 Tetraoksimlerin genel yapısı.

*anti*-Dioksim komplekslerinde hidrojen köprüsü sebebiyle, <sup>1</sup>H NMR spekturmunda O-H protonu çok zayıf alana kayar 16-17 ppm (Ahsen ve ark.

1987, Gök ve ark. 1990) *vic*-Dioksimlerin azot ve oksijen grupları üzerinden koordinasyona girdiği komplekslerinde ise, koordinasyona iştirak etmeyen O-H grubu, serbest, ligandinkine yakın bir kayma gösterir (Pata 1970).

## 1.2 Tiyosemikarbazonlar

### 1.2.1 Kimyasal özellikleri

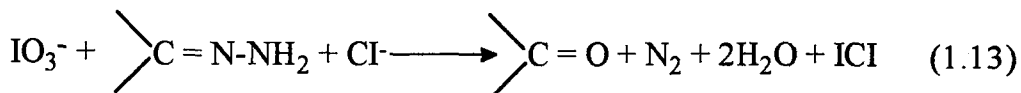
Semikarbazonlar ve tiyosemikarbazonlar, semikarbazitlerin ve tiyosemikarbazitlerin uygun aldehit veya ketonlar ile kondenzasyonundan elde edilen bileşiklerin sınıfını oluşturur. Kondenzasyon için kullanılan aldehydin veya ketonun cinsine bağlı olarak, semikarbazon veya tiyosemikarbazon, metal iyonları ile tek dişli, iki dişli veya çok dişli şelatlar oluşturabilir. Meydana gelen kompleksler renklidir ve bu özelliklerinden dolayı metal iyonlarının seçici ve hassas olarak tayininde kullanılır (Kumar ve ark. 1993)

Hidrazone; hidrazinlerden, semikarbazonlar; semikarbazitlerden, tiyosemikarbazonlar da; tiyosemikarbazitlerden daha zayıf bazdır.

Semikarbazon ve tiyosemikarbazonların orta derecede indirgenmesi ile semikarbazit ve tiyosemikarbazit türevleri elde edilir. Bu bileşiklerin katalitik indirgenmesiyle oluşan hidrazitler, hidroliz olurlarsa, hidrazinler meydana gelir (Singh ve ark. 1978).

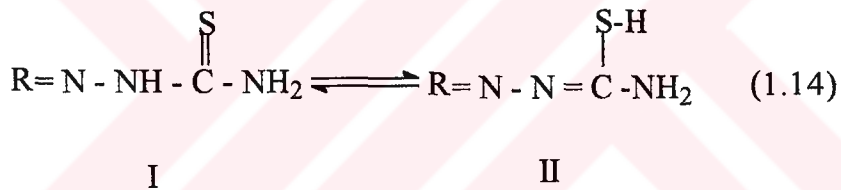
Sodyum etoksit gibi alkoksitlerle verdiği reaksiyonlarda, semikarbazonlar hidrazoneye dönüşür. Hidrazonearda kuvvetli bazla muamale edilirse, hidrokarbonlar ele geçer. Bu reaksiyonlar, karbonil grubunun yerine  $-\text{CH}_2-$  grubunun geçmesi için kullanılabilir. Bu reaktifler kolaylıkla orjinal karbonil bileşikleri vererek hidroliz olur ve bu yüzden sık sık karbonil

bileşiklerin teşhisinde ve izole edilmesinde kullanılır. Bu metotda semikarbazon, seyreltik HCl asitle hidroliz olur ve standart iyodat çözeltisi ile titrasyonundan başlangıç karbonil bileşiklerinin eşdeğer ağırlığı tayin edilir (Singh ve ark. 1978), (1.13)



### 1.2.1.1 Tiyosemikarbazon komplekslerinde bağlanma

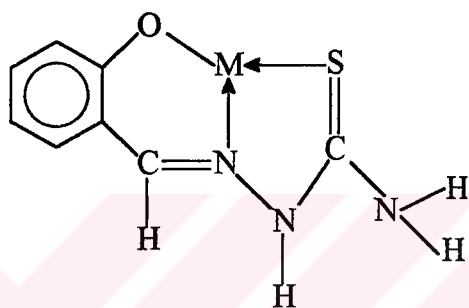
Çözelti içerisinde tiyosemikarbazon muhtemelen tion (I) ve tiyol (II) toutomerlerinin bir denge karışımından ibarettir (Klayman ve Lin 1984, Ainscough ve ark. 1991), (1.14).



**I** nötral iki dişli bir ligand olarak davranışken, **II** tiyol protonunu kaybindan dolayı tek yüklü iki dişli ligand olarak tanımlanır. Bundan dolayı hazırlama şartlarına, özellikle pH'a bağlı olarak kompleks katyonik, nötral veya anyonik olabilir. Ancak tiyosemikarbazon komplekslerinin incelenmesi, ligandların, büyük bir oranda I halinde metal iyonları ile kompleks verdiği göstermiştir. II haliyle bağlandığını gösteren veriler çok azdır. Bunlara ek olarak ligandin her iki toutomerik halini ihtava eden kompleksleride izole etmek mümkündür (Padhy ve Kauffman 1985). Örneğin 2-hidroksi-1,4-naftakinon-1-tiyosemikarbazonun Co ile verdiği  $[\text{Co}(\text{HNQTSC})(\text{NQTSC})]\text{H}_2\text{O}$  ( $\text{HNQTSC}$  : monoanyonik tion şekli ve  $\text{NQTSC}$  : dianyonik tiol şekli) formülündeki nötral şelat elde edilmiştir. Bu şelat yapıda ligandin her iki tautomerisi de yer almaktadır. Bu tip, tautomerik yapılı, karışık ligandlı komplekslerin oluşması,

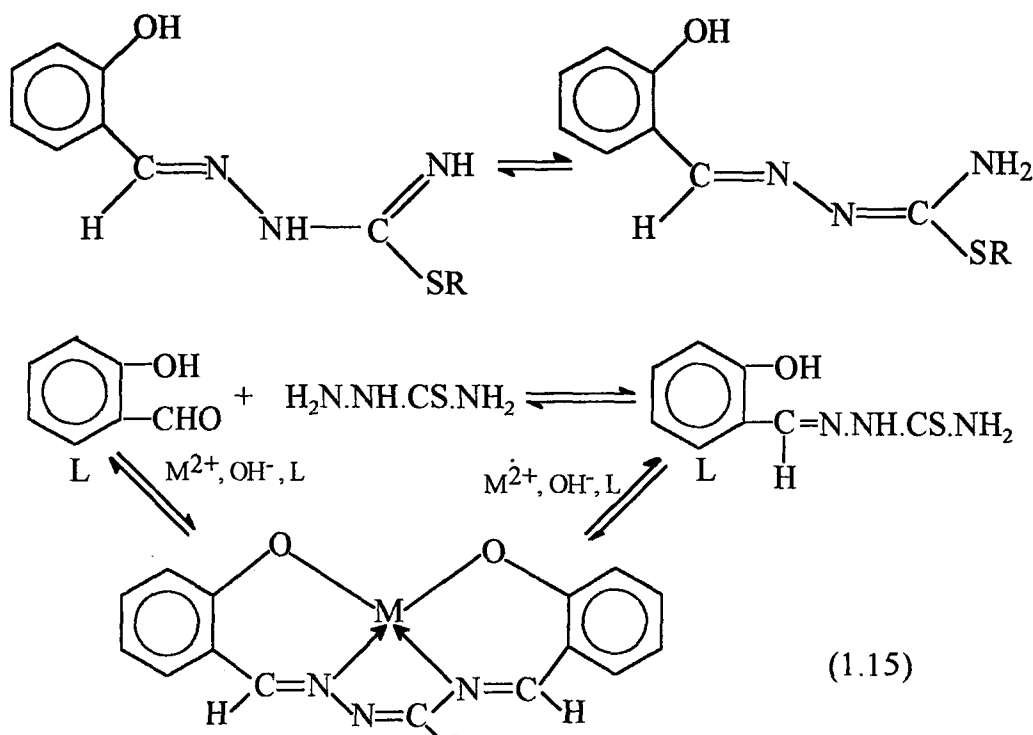
merkez atomunun kompleks oluşumuyla birlikte, yükseltgenmesiyle oluşturduğu tahmin edilmektedir. Salisilaldehytiyosemikarbazonun  $\text{Co}^{2+}$  komplekslerinde bu durum gözlenmiştir. Çünkü meydana gelen komplekslerin  $\text{Co}^{3+}$ 'dan dolayı diamagnetik olduğu bulunmuştur. Halbuki, kompleksleşme reaksiyonlarına  $\text{Co}^{2+}$  tuzları ile başlanmıştır (Padhy ve Kauffman 1985).

SN donör merkezlerinin yakınında bir ilave koordine edici fonksiyonel gruplar varsa, ligandların üç dişli olarak davranışları görülmektedir, Şekil 1.10.



Şekil 1.10

Tiyosemikarbazon türevlerinin tiyokarbonil kükürdünün alkilleşmesi, terminal amin grubu üzerinden kompleksleşme meydana getirir (Padhy ve Kauffman 1985, Singh ve ark. 1978)  $\text{Cu}(\text{II})$ ,  $\text{Ni}(\text{II})$ ,  $\text{UO}_2(\text{VI})$  gibi bir çok metal tuzunun varlığından bu ligandlar terminal azot atomları üzerinden diğer bir aldehit veya keton ile kondenzasyon yaparak dört dişli ligandlar meydana getirir, (1.15). S, bu tür yapılarda koordinasyona girmemektedir.



(M : VO<sup>2+</sup>, Ni<sup>2+</sup> veya Cu<sup>2+</sup>, R : H<sup>+</sup>, NH<sub>4</sub><sup>+</sup>, Na<sup>+</sup> veya K<sup>+</sup>)

Tiyosemikarazon komplekslerinde en çok karşılaşılan geometriler; oktaedral ve karadüzlemdir. Nadiren beş koordinasyonlu komplekslerle de karşılaşılır. Asetontiyosemi-karazonun (Padhy ve Kauffman 1985) Co(II), Fe(II) ve Ni(II) kompleksleri ve 2-asetilpridintiyosemikarazonun Fe(III) kompleksi beş koordinasyonludur (Campbell 1975). Bu beş koordinasyonlu komplekslerin, bazıları, antimarial, ve antitümör aktifliği (West ve Liberta 1993, Dhumwad ve ark. 1994, Ferrari ve ark. 1994) sahip olduklarından bu sınıf komplekslerinin sentezleri ve yapılarının incelenmesi için, daha çok çaba gereklidir.

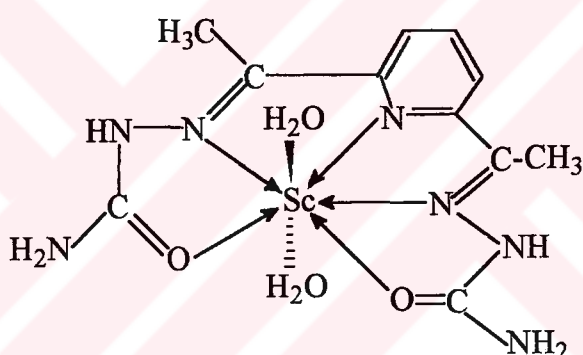
Orta derecede asidik ortamdan, orta derecede bazik ortama uzanan aralıktaki semikarazonlar ve tiyosemikarazonlar renkli metal kompleksleri meydana getirir. Bunlardan birkaç tanesi, kuvvetli asidik ortamda, metal iyonlarının tayininde kullanılır. Hidroksipikolinaldehitiyosemikarazon çok kuvvetli asidik ortamda metal tayininde kullanılır (Padhy ve Kauffman 1985).

### 1.2.2 Geçiş metal kompleksleri

Metallerin semikarbazon ve tiyosemikarbazon ile yapmış oldukları kompleksleri, metalin d konfigürasyonlarına göre sınıflandırılarak incelenmiştir (Campbell 1975, Padhy ve Kauffman 1985,).

#### 1.2.2.1 $d^1$ Kompleksleri

X-ışını incelemeleri, beş dişli ligand olan 2,6-diasetilpridin-semikarbazon'un Sc(III) kopleksinin pentagonal bipiramidal yapıda olduğunu göstermiştir (Padhy ve Kauffman 1985), Şekil 1.11.

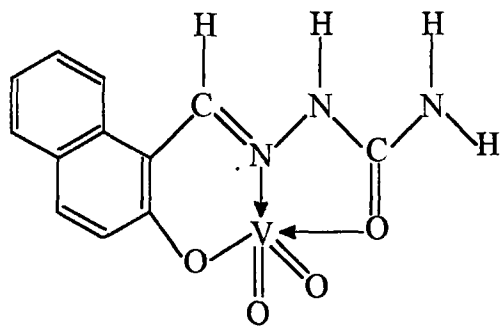


Şekil 1.11

Siklohekzanonsemikarbazon ve tiyosemikarbazonun  $[VOL_2X]X$  ( $L$  = Ligand ve  $X$  = Cl, Br veya  $1/2 SO_4^{2-}$ ) tipindeki monomerik oxovanadyum kompleksleri tetragonal yapıdadır.

$NH_4[VO_2L]$  (Burada  $L$  = 2-hidroksinaftalaldehitsemikarbazon'un mono anyonu) bileşliğinde vanadyum beş değerliklidir. Böyle bir kompleksin, havadan alınan oksijenin koordinasyona katılmasıyla oluşturduğu tahmin edilmektedir (Padhy ve Kauffman 1985). Bunun sonucunda kompleks diamagnetik özellik

kazanır. Vanadyum atomunun yer aldığı kompleks anyonunun, bozuk bipiramidal bir geometriye sahip olduğu, X-ışını kristalografik çalışmaları ile açıklanmıştır, Şekil 1.12.



Şekil 1.12

### 1.2.2.2 $d^2$ Kompleksleri

Bunun tipik kompleksleri rapor edilmemiştir.

### 1.2.2.3 $d^3$ Kompleksleri

Üç değerlikli kromla, kükürt-azot ligandların yaptığı kompleksler nadirdir. 5-Klorür ve 5-bromsalisilikaldehitsemi-karbazonun  $[M(5-XHSSC)_2]ClH_2O$  tipindeki kompleksleri, krom(III) klorür ve ligandların alkoldeki karışımlarından elde edilmiştir (Padhy ve Kauffman 1985). Bu kompleksler pH 7-8'de sulu amonyak çözeltisi ile muamele edildiğinde, başlangıçta nötral bileşiklere  $[Cr(5-XSSC)(5-XHSSC)]H_2O$  dönüşür ve pH 9-10'a yükseltiliğinde bunların amonyum tuzları  $NH_4[Cr(5-XSSC)_2]H_2O$  elde edilebilir. Benzer dönüşümlerin Fe(III) ve Co(III) gibi diğer üç değerlikli iyonlarla da mümkün olur.  $[Cr(H_2O)_6]Cl_3$  ile tekabül ettikleri ligand türevlerinin

etkileşmesinden,  $[Cr(HL)(H_2O)_3]Cl_2$  (Burada  $HL =$  diasetilmono-oksimsemikarbazonunun monoanyonu) ve  $[Cr(HL)L]$  (Burada  $L =$  Diasetilmonooksimsemikarbazon / tiyosemikarbazonun dianyonu) tipinde kompleksler oluşur.

$[CrL_3]$  tipinde paramanyetik, oktaedral kompleksler p-sübstitüentbenzaldehittiyosemikarbozanla elde edilir, burada ligand iki dişli ve monoanyonikdir (Padhy ve Kauffman 1985).

#### 1.2.2.4 $d^4$ Kompleksleri

Bazı iki dişli ve üç dişli Schiff baz ligandları, yani sırasıyla, 1-salisil-4-benzilamidotiyosemikarbazon ve 1-fenil-4-benzilamidosemikarbazonla Mn(III) komplekslerinin sentezi üzerine tek bir rapor vardır (Padhy ve Kauffman 1985). Bunlardan ilki  $[ML]$  tipinde oktaedral yapıdadır.

#### 1.2.2.5 $d^5$ Kompleksleri

5-Klor ve 5-bromsalisilaldehitsemikarbazon'un Fe(III) kompleksleri, Cr(III) komplekslerine benzemektedir (Padhy ve Kauffman 1985).  $[M(5XHSSa)_2]YH_2O$  (Burada X = Cl veya Br ve Y = Cl veya NO). Ürünler, Fe(II) tuzları ile aynı ligandların karışımlarının yükseltgenmesiyle elde edilebilir.

$M[Fe(R-L)_2]$  (Burada M : Cs,  $NH_4$  veya K; R : H, 5-Cl, 5-Br, 3,5-diCl veya 3,5-diBr; n = 0 veya 1.5; ve L : salisilaldehittiyosemikarbazon) tipindeki sübstitüte salisilaldehittiyosemikarbazon ligandların Fe(III) komplekslerinin yapısal ve magnetik özellikleri tanımlanmıştır (Padhy ve Kauffman 1985).

Yukarıdaki kompleksler üzerine yapılan çalışmalar, ligandların üç dişli olduğunu ve demir atomlarının S, O ve trans N atomları ile oktaedral olarak

koordinasyona girdiğini göstermiştir (Klayman ve Lin 1984, Kumar ve ark. 1993).

$\text{NH}_4[\text{Fe}(3,5\text{-di-Cl-STSC})_2] \cdot 1,5\text{H}_2\text{O}$  ve  $\text{K}[\text{Fe}(3,5\text{-di-Cl-STSC})_2]$  kompleksleri spin denge tipli geçiş kompleksleridir. Bu kompleksler yüksek spin ile düşük spin arasında yer alır.

Bu ligandların Fe(III) komplekslerinde koordinasyon yapan azot atomları *cis*- halindedir. Kobalt ile *cis*- ve *trans*- izomerlerinin her ikisi elde edilir.

2-Hidroksi-1-naftilaldehydiyosemikarbazon ligandından türetilen karepramidal konfigürasyona sahip diğer bir pentakoordine Fe(III) kompleksi sentezlenmiştir (Padhy ve Kauffman 1985).

Mn(II) iyonlarının tiyosemikarbazit ve asetontiyosemikarbazon ligandlarıyla yaptığı oktaedral kompleksleri tanımlanmıştır (Padhy ve Kauffman 1985).

#### 1.2.2.6 $d^6$ Kompleksleri

$[\text{FeL}_2\text{X}_2] \cdot n\text{H}_2\text{O}$  (Burada L : aseton, etilmetyl keton, siklopantanon veya siklohekzanon'un tiyosemikarbazon türevi; X : Cl veya Br ve n = 0,1,2) tipinde muhtelif tiyosemikarbazonların Fe(II) kompleksleri tanımlanmıştır (Padhy ve Kauffman 1985).

Asetontiyosemikarbazonun Fe(II) ile yaptığı  $[\text{Fe}(\text{ACTSC})_2\text{Cl}] \text{ClH}_2\text{O}$  kompleks beş koordineli bir konfigürasyona sahiptir<sup>50,52</sup>. Ni(II) ve Fe(II) nin kovalent yarıçapları hemen hemen eşdeğer olmasına rağmen Fe-S uzaklığı (2,375 Å) benzer beş koordineli Ni(II) kompleksinden daha büyüktür (Padhy ve Kauffman 1985).

Ancak, Fe(II) tiyosemikarbazit ile verdiği altı koordineli kompleksten biraz küçüktür.

Ferrosulfat ile 2-hidroksi-1,4-naftakinontiyosemikarbazon ve onun oksijen analogunun ilginç bir etkileşimi vardır. Tiyosemikarbazon kompleksinin normal *cis*- koordinasyon durumu ihtiva eden düşük spinli Fe(III) bileşiği olduğu bulunmuştur. Halbuki semikarbazon kompleksi düşük spinli Fe(II) bileşiği için alışılmış olmayan koordinasyon durumundadır.

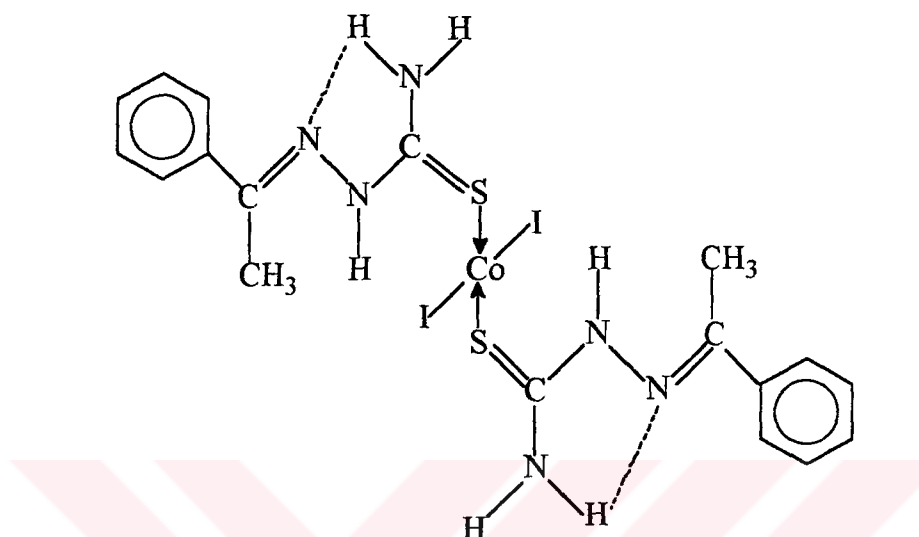
Sübstítüe olmamış salisilaldehittiyosemikarbazon ligandi  $\text{RhCl}_3\text{H}_2\text{O}$  ile reaksiyona sokulduğunda ligandın üç dişli olduğu  $[\text{Rh}(\text{HSTSC})_2]^+$  katyonu elde edilir. Bu kompleksin alkoldeki çözeltisi sodyum asetat ile ısıtılsa, suda az çözünen  $[\text{Rh}(\text{HSTSC})(\text{STSC})]\text{3H}_2\text{O}$  koyu kahverengi bileşiği çöker. Çökelek HCl ile muamele edilirse  $[\text{Rh}(\text{HSTSC})_2]\text{Cl}_4\text{H}_2\text{O}$  orjinal bileşigine dönüştürülebilir. Bu kompleksin derişik  $\text{NH}_3$  ile ısıtılmasıyla soluk kahve renkli  $[\text{NH}_4\text{Rh}(\text{STSC})_2]\text{3H}_2\text{O}$  bileşiği, KOH ile muamele edilmesinde çok koyu kırmızı bir çözelti oluşur. Bundan da yavaş yavaş  $\text{K}[\text{Rh}(\text{STSC})_2]\text{3H}_2\text{O}$  çökeleği oluşur, (Cambell, 1975, Padhy ve Kauffman 1985).

#### 1.2.2.7 $d^7$ Kompleksleri

Asetofenontiyosemikarbazon ve benzaldehittiyosemikarbazon için yapılan X-işını kristal yapısı çalışmalarında ligandların kükürt üzerinden bağlanarak tek dişli olduğunu göstermektedir. Burada, N atomları metal iyonundan uzağa itilmişlerdir, yani, ligand *trans*- durumundadır, Şekil 1.13. Muhtemelen imin azotu atomuna yakın olan hacimli metil sübstítuenti onun koordinasyona katılmasına sterik engeller çıkarmaktadır (Padhy ve Kauffman 1985, Abras ve ark. 1990).

Diğer taraftan potansiyel olarak üç dişli ligand olan salisilaldehitsemikarbazonun, semikarbazon kısmının CO oksijenin katılmaması

dolayısı ile bir iki dişli monoanyonu olarak davranışının bulunduğu bulunmuştur. Yukarıdaki durumda meydana gelen kompleksin  $[Co(HSSC)_2(H_2O)_2]$  tipinde oktaedral olduğu bulunmuştur.

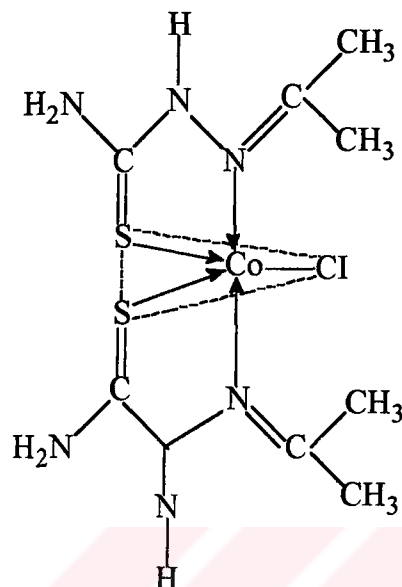


Şekil 1.13

Alifatik sübstiyentler taşıyan tiyosemikarazon ligandlarından benzil metil keton ve metil n-hekzil ketonun bazik ortamda Co(II) halojenürler ile enolik formlarının  $ML_2$  tipinde nötral bis şelatlar verdiği bulunmuştur. Bu şelatların bilinen organik çözücüerdeki çözünmezliği ve magnetik davranışlarından altı koordineli polimerik türler olduğu görülmektedir. Diğer taraftan asetontiyosemikarazonun  $(ACTSC)[Co(ACTSC)_2Cl]ClH_2O$  kompleksi üçgen bipiramidal yapıdadır (Padhy ve Kauffman 1985), Şekil 1.14.

Siklohekzanontiyosemikarazonun Co(II) kompleksi iki formda elde edilebilir. Örneğin bir kırmızımsı kahverengi kompleksi Co(II) tuzunun amonyaklı çözeltisinin siklohekzanontiyosemikar-bazonun sıcak etanol çözeltisi ile etkileşmesinden elde edilir. Bu kompleksin kloroform çözeltisi yeşil renktedir.

Düşük basınçta çözücünün uzaklaştırılması üzerine yeşil renkli bir kompleks elde edilir.



Şekil 1.14

Kırmızımsı kahverengi kompleks takiben 60 °C'de yaklaşık bir saat ısıtılıarak yeşil komplekse dönüştürülebilir. Dönüşüm tersinirdir, soğutma üzerine yeşil kompleks tekrar kırmızımsı kahverengine döner; bu kompleks için, oktaedral yapı teklif edilmektedir.

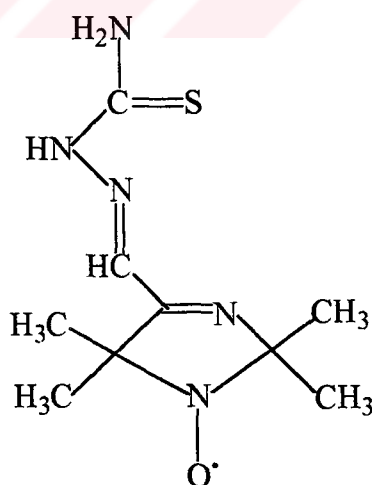
Alifatiktiyosemikarbazonların oksijen analogları yani asetonetilmetil-semikarbazonlar Co(II) tuzları ile  $\text{CoL}_2\text{X}_2$  (Burada, L : nötral semikarbazon ligand; X :  $\text{Cl}^-$ ,  $\text{Br}^-$ ,  $\text{I}^-$ ,  $\text{CNS}^-$  veya  $1/2 \text{SO}_4^{2-}$ ) tipinde bileşikler verecek şekilde etkileşirler. Bu bileşikler oda sıcaklığında paramagnetik bileşiklerdir. Keza IR spektral özellikleri altı koordineli Co(II) olması gerektiğini göstermektedir.

pH ve yükseltgen maddelerin varlığına veya yokluğuna bağlı olarak, salisilikaldehitsemikarbazon ( $\text{H}_2\text{SSC}$ ) gibi, üç dişli dibazik semikarbazon ligandlarının Co(II) tuzları ile, sırasıyla, her ikisi de diamagnetik olan

$[\text{Co}(\text{HSSC})(\text{SSC})]\text{H}_2\text{O}$  ve  $\text{K}[\text{Co}(\text{SSC})_2]\text{2H}_2\text{O}$  kompleksleri meydana gelmektedir. Böyle bileşikler, düşük spinli Co(III) türlerinin örnekleri olup  $d^7$ den ziyade  $d^6$  sistemine aittir. Ancak, başlangıç materyalleri  $d^7$  sistemindeki kobalt tuzları olduğundan,  $d^7$  sistemine alınmıştır. Bu bileşiklerde not edilmesi gereken önemli şey, ligandın hem tion hem de tiol formlarının her ikisinin varlığıdır (Ainscough ve ark. 1991).

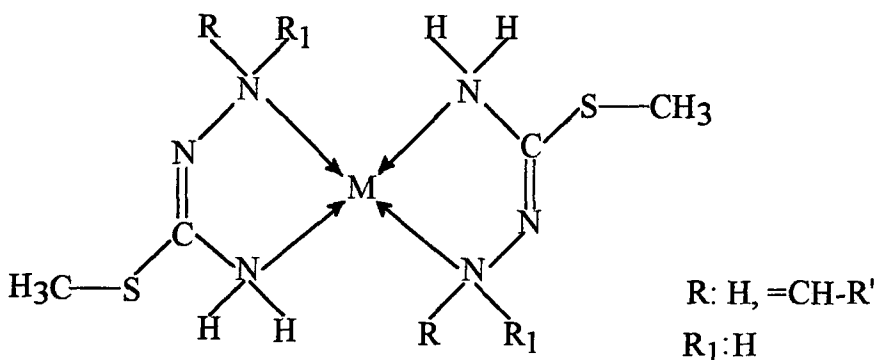
### 1.2.2.8 $d^8$ Kompleksler

4-Formil-2,2,5,5-tetrametik-3-imidazolin-1-Oxitiyosemikarbazon, Şekil 1.15'deki ligandi ile Ni(II), Pd(II) ve Pt(II)'nin kompleksleri sentezlenmiş ve özellikleri araştırılmıştır. Bu kompleksler paramagnetiktir. Bu ligandın Ni(II) komplekslerinde, üç dişli ligand olarak davranışının bulunmuştur. Her zamanki S ve N merkezlerine ilave olarak imin azotu ile koordinasyon yapması bozuk oktaedral geometrik yapı verir. Diğer taraftan Pd(II) ve Pt(II) komplekslerinde ligandın iki dişli olarak davranışının bulunmuştur (Padhy ve Kauffman 1985).



Şekil 1.15

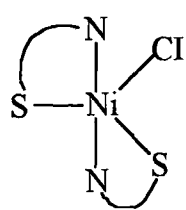
Tiyosemikarbazon ligandlarının Ni komplekslerinin çok az sayıdaki örneklerinde S atomu koordinasyona katılmaz. Böylece kompleksleşme hidrazinik azot atomu ve amid azot atomu vasıtasyyla meydana gelir ve karedüzlem geometri oluşur, Şekil 1.16.



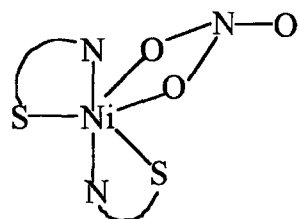
Şekil 1.16

*vic*-Dioksim komplekslerinde olduğu gibi kare düzlem yapılı Ni(II) kompleksi kırmızıdır. Analog Co kompleksi  $[Co(CH_3-S-TSC)_3]I_3$  oktaedralıdır. Kükürt atomu metilenmiş asetontiyosemikarbazon durumunda keza benzer neticeler gözlenir. Diğer taraftan, kükürt atomu metilenmiş, salisilikaldehidiyosemikarbazon ligandi metallerle kompleksleşmeye girmez. Bu durum bu tür kompleksler için, bir *trans*- konfigürasyonunun varlığını gösterir. Böyle bir konfigürasyondaki ligandlar, sadece, S atomları ile bağlandıklarında tek dişli olarak adlandırılırlar. Bu bağlanmanın olmadığı durumlarda, sübstitüsyon nedeniyle, tek dişli olmaları mümkün olmayabilir. Bununla beraber, aril sübstituentler *cis*- konfigürasyonuna dönüşümde, sterik engeller getirmeleri de muhtemeldir. Aseton ve siklohekzanoniyosemikarbazon türevleri ile Ni(II) tuzlarının etkileşmesi  $[NiL_2X_2](H_2O)_n$  (Burada L : nötral tiyosemikarbazon ligand ve X :  $Cl^-$ ,  $Br^-$ ,  $NO_3^-$  veya  $CIO_4^-$ ) tipinde kompleksler verir. Bundan sonra yapılan X-ışını difraksiyon çalışmaları merkezi Ni(II) iyonuna sadece bir klor

atomunun bağlandığını göstermektedir. Bu da beşli koordinasyonlu kompleksin varlığına işaretir, Şekil 1.17. Diğer taraftan  $X : NO_3^-$  olduğu zaman meydana gelen kompleks oktaedraldır. Ancak, bu oktaedral yapı, büyük oranda, trigonal bipiramidal geometriye benzer, bozulmuş polihedron durumdadır (Padhy ve Kauffman 1985, Abras ve ark. 1990), Şekil 1.18.



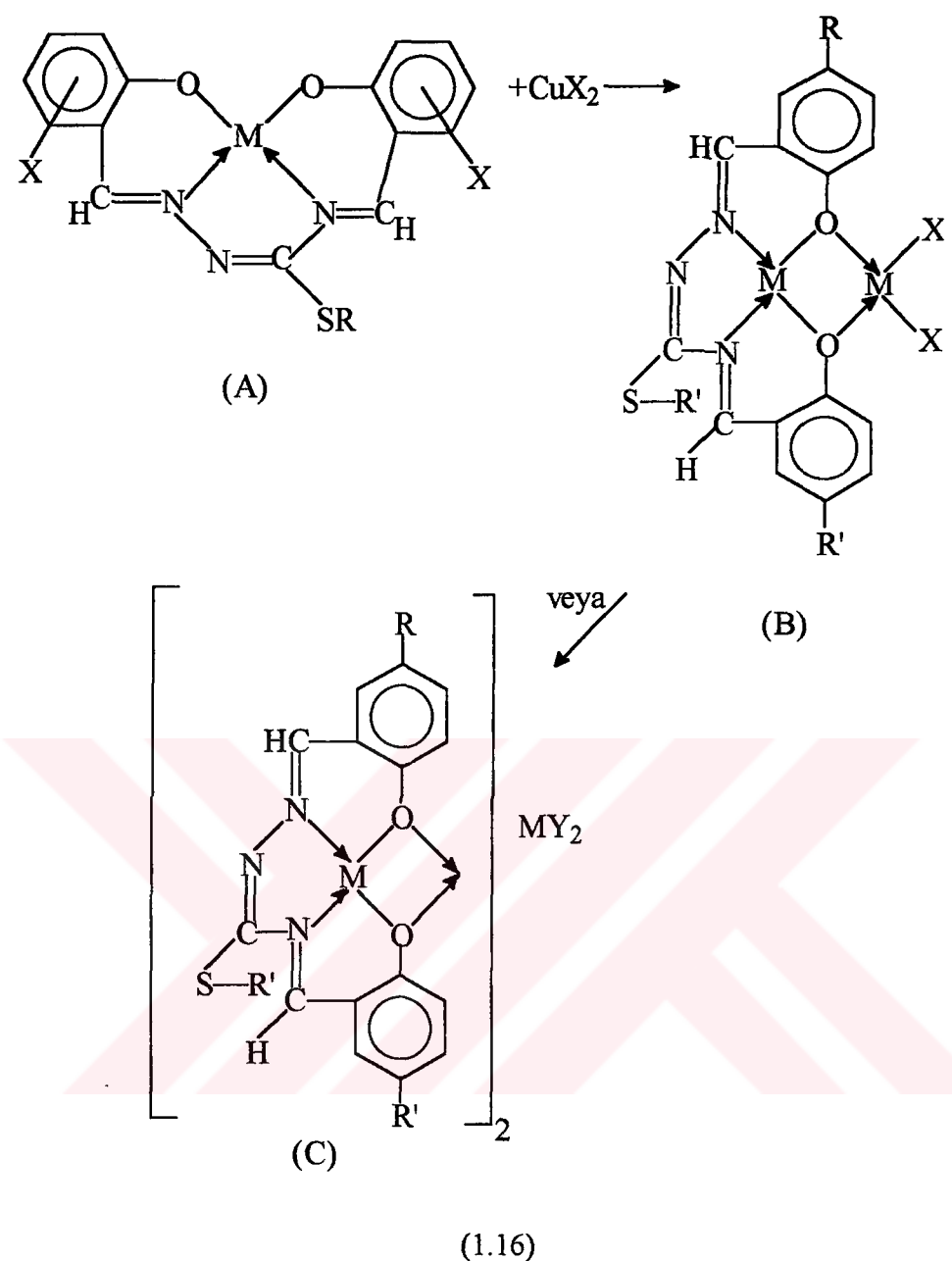
Şekil 1.17



Şekil 1.18

### 1.2.2.9 $d^9$ Komplekslerı

Bazı iki çekirdekli ve üç çekirdekli bakır kompleksleri; p-hidroksibenzaldehit ve onun tiyosemikarbazon türevinden (1.16 A) elde edilen dört dişli ligandlar ile Cu(II) tuzlarının etkileşmesiyle elde edilir ve “süper kompleksler” diye adlandırılır. Benzer şekilde klorürler ve bromürler  $[ML.M'X_2]$  tipinde (1.16 B) iki çekirdekli kompleksler verirken perklorat ve nitrat tuzları  $[(ML)_2M]Y_2$  (Burada  $Y : ClO_4^-$  veya  $NO_3^-$ ) tipinde (1.16 C) üç çekirdekli bileşiklerini verirler.



Cu(II) klorürün salisilaldehit-S-metiltiyosemikarbazonlar ile reaksiyonundan elde edilen  $[Cu(HL)X]_nH_2O$  (Burada HL : monoanyon ligand ve X :  $Cl^-$ ,  $Br^-$ ,  $NO_3^-$  veya  $ClO_4^-$ ) tipindeki bakır kompleksleri için X-ışınları toz difraksiyonu verilerine göre bu bileşiklerde kükürt atomlarının koordinasyonuna katılmadığı tiyosemikarazon örnekleridir. Bunlar kare düzlem yapıdadır, bu yapıda koordinasyon yerlerinin üçü, fenilik oksijen atomu, hidrazinik azot

atomu ve terminal azot atomu tarafından işgal edilmişlerdir. Dördüncü yer karşı iyon tarafından tutulmuştur (Padhy ve Kauffman 1985).

### 1.2.2.10 $d^{10}$ Kompleksleri

Çinko ile verdikleri komplekslerde tiyosemikarbazonlar iki dişli ligand olarak davranışlarında tetrahedral ve oktahedral yapıda kompleksler oluştururlar. Diğer taraftan etilasetoasetsemikarbazon ve tiyosemikarbazon gibi ligandlar, çinko komplekslerinde üç dişlidir. İki dişli iken M-S ve M-N için frekanslar sırasıyla  $260$  ve  $370\text{ cm}^{-1}$ dir. Bu üçüncü koordinasyon merkezi ilavesiyle meydana gelen M-O'nun frekansı  $450\text{ cm}^{-1}$  olur. (Bu frekanslar bize kompleksin kaç dişli olduğunu gösterir.) Üçüncü koordinasyon yapan merkez açılı karbonil grubu tarafından sağlanır, bunun infrared frekansı  $1720\text{ cm}^{-1}$  den  $1700\text{ cm}^{-1}$ 'e değişir (Padhy ve Kauffman 1985).

Sonuç olarak 1975 yılında yaklaşık olarak 8 tane metal tiyosemikarbazon kompleksden bahsedilmesine rağmen, günümüze kadar ilginç katyonik, nötral ve anyonik kompleks türleri sentezlenmiştir. Ligandlar genellikle komplekslerde nötral formlarında yer almalarına rağmen, bazen anyonik ligandlardan da meydana gelmiş komplekslere rastlanır. Ligandlar tek dişli, iki dişli veya üç dişli olabilirler. Metal iyonuna bağlanma kükürt atomu, bir veya daha çok azot atomları veya kükürt ve azot atomlarının her ikisiyle de olur. Koordinasyon sayıları 7 (Pentagonal bipramidal), 6 (oktahedral), 5 (trigonel bipramidal veya pramidal) veya 4 (kare-düzlem veya tetrahedral) dir. Hem tek çekirdekli hem de çok çekirdekli kompleksler sentezlenmiştir..

$d^1$  : Sc(II), VO(IV)

$d^3$  : Cr(III)

$d^4$  : Mn(III)

$d^5$  : Fe(III), Mn(II), Ru(III)

$d^6$  : Fe(II), Co(III), Ru(II), Rh(III)

$d^7$  : Co(II)

$d^8$  : Ni(II), Pd(II), Pt(II)

$d^9$  : Cu(II)

$d^{10}$  : Zn(II)



### 1.3 Hidrazinler ve Hidrazonelar

#### 1.3.1 Hidrazinler

İzopropil hidrazin  $[(CH_3)_2CHNHNH_2]$  ve p-tolylhidrazin'de ( $p\text{-CH}_3C_6H_4\text{-NHNH}_2$ ) olduğu gibi, hidrazinler bağlanan grubun adını ve "hidrazin" ön eki kullanılarak adlandırılır. Hidrazin fonksiyonu için, ön ek kullanma zorunluluğu olduğu durumlarda, hidrazinoasetik asit ( $H_2NNHCH_2COOH$ )'de olduğu gibi "hidrazino" ön eki kullanılır. İki veya daha fazla sబstituent olması durumunda sబstituentlerin yerini gösteren semboller kullanılır. Bir çok kimyacı N ve N' sembollerini kullanır. Fakat, IUPAC kuralına göre, Chemical Abstract'larda, bir ve iki rakamları kullanılır. Disubstitüe hidrazinler için "sym" (simetrik) ön ekinin kullanılması  $CH_3NHNHCH_3$ 'de olduğu gibi yaygındır. Bu bileşik 1,2-dimetilhidrazin,N,N'-dimetilhidrazin veya sym-dimetilhidrazin olarak adlandırılabilir. N,N'-Difenilhidrazin(ph-NHNH-ph) genellikle hidrazo-benzen olarak bilinir. N,N,N-trimetilhidrazinyum iyot  $[(CH_3)_3N^+-NH_2I^-]$ örneğinde olduğu gibi, hidrazinden türeyen iyonlar "hidrazinyum" olarak adlandırılır. Ayrıca, bu adlandırma radikal iyonlar ( $R_2N-NR_2^+$ ) içinde kullanılmaktadır. -Hidrazonyum son eki, Chemical Abstract'larda kullanılır. Ancak, -onyum son ekinin kullanımı hidrazone türevleriyle karışmasına sebep olmaktadır.

Basit alkil ve aril hidrazinler sıvıdır ve genellikle hafif amonyak kokusuna sahiptir. Havadan korunduğu takdirde, saklanabilir. Monoalkil hidrazinler aynı molekül ağırlıklı aminler ile karşılaştırıldığında, daha yüksek kaynama noktasına sahip oldukları görülür. Azota bağlı hidrojeni olmayan tetraalkil hidrazinler bile analogları olan hidrokarbonlardan daha yüksek sıcaklıklarda kaynar. Örneğin, kaynama noktası 73 °C olan tetrametil hidrazinin kaynama sıcaklığı tetrametil

etaninkinden 15 °C daha yüksektir. Hidrojen bağlı, monoalkil hidrazinler için kaynama noktasının yükselmesinde en etkili olaydır.

**Tablo 1. Bazı Hidrazinlerin Kaynama Noktaları ve**

**Bazlık Kuvvetleri**

Hidrazin	K.n(°C)	pKa
NH <sub>2</sub> NH <sub>2</sub>	113.5	8.07
CH <sub>3</sub> NHNH <sub>2</sub>	87	7.87
CH <sub>3</sub> NHNHCH <sub>3</sub>	81	7.52
(CH <sub>3</sub> ) <sub>2</sub> NNH <sub>2</sub>	63	7.21
(CH <sub>3</sub> )NNHCH <sub>3</sub>	60/735 mm	6.56
(CH <sub>3</sub> ) <sub>2</sub> NN(CH <sub>3</sub> ) <sub>2</sub>	73/730 mm	6.30
C <sub>2</sub> H <sub>5</sub> NHNH <sub>2</sub>	99.5/709 mm	7.99
C <sub>2</sub> H <sub>5</sub> NHNHC <sub>2</sub> H <sub>5</sub>	85	7.78
(C <sub>2</sub> H <sub>5</sub> ) <sub>2</sub> NNH <sub>2</sub>	98	7.71
C <sub>6</sub> H <sub>6</sub> NHNH <sub>2</sub>	243.5	5.1
(F <sub>3</sub> C) <sub>2</sub> NN(CF <sub>3</sub> ) <sub>2</sub>	32	

Hidrazinlerin alkilenmesi bazlık kuvvetini azaltır ve tetraalkil hidrazinler en zayıf bazdır. Bir çok alkil hidrazinin bazlık kuvveti, amonyum ile anilinin arasındadır. Hidrazinler genellikle ekivalent miktardaki asit ile tuz oluşturur. Öte yandan, alkil grubu bütilden daha yüksek olan, tri ve tetra alkil hidrazinler

hemen hemen bazik değildir ve kuvvetli mineral asitlerde bile çözünmezler. Aminlerin tersine, hidrazinler, kuvvetli nükleofilik karaktere sahiptir ve alkillemeye maddeleri ve karbonil bileşikleri ile aminlerden daha kuvvetli reaksiyon verir. Paylaşılmasız elektron çiftine sahip iki atom, komşu olduğu zaman, nükleofilik güçleri artmaktadır. Edward ve Pearson bunun elektron çiftlerinin itmesi sonucu meydana geldiğini önermiştir. Sübstansiyonlar için geçiş devresinde bu elektron çiftlerinden birisi azalır. Benzer bir olay hidroksilaminlerde de gözlenir.

Hidrazinlerin bazlık kuvetine sübstansiyon etkisinin tatmin edici açıklaması henüz tam olarak ortaya konamamıştır. Fakat, bazlıklarının sterik etkiye bağlı olduğu görülmektedir. Eğer, aminlerdeki N-N bağ uzaklışı C-N bağ uzaklıından daha kısa ise, bu etki aminlerde daha büyük olabilir. Sonuç olarak, sym- ve unsym- dimetilhidrazinlereki N-N bağ uzunluğunun ( $1.45 \text{ \AA}$ ) N-C bağ uzunluğundan ( $1.47 \text{ \AA}$ ) daha kısa olduğu bulunmuştur.

Tersiyer hidrazinium hidroksitler ( $\text{R}_3\text{NNH}_2^+\text{OH}^-$ ), tersiyer amonyum hidroksitler gibi kuvvetli bazdır. Fakat, amin N-imit ( $\text{R}_3\text{N}^+-\text{NH}^-$ ) ile eşittir. Benzil grubun göçü ile  $\text{R}_2\text{N}-\text{NHR}'$ ye çevrilme kolaylıkla meydana gelir. İki tane N-alkil-N-metilfenilhidrazinium bileşiği enantiyomerlerine ayrılmıştır (Smith 1966).

Hidrazinler çok zayıf, ancak amonyumdan daha kuvvetli asittir.

Tetraaril hidrazinler, heptaaril etanlar benzer şekilde, çözeltilerde serbest radikaller oluşturma eğilimi gösterir. Radikaller renklidir (sarı-yeşil), fakat kristal yapıda hidrazinler renksizdir. o- ve p- pozisyonlarında nitro gibi elektron çekici gruplar olduğu zaman, radikallere ayrışma zor meydana gelir ve dimetilamino gibi elektron verici grup olduğu zaman kolay meydana gelir. Alkilhidrazinlerin, infrared spektrumları, aminlerinkine benzer şekildedir (N-H bandları aynı bölgede çıkar).

Genel olarak hidrazinler toksit değildir. Fakat, fenilhidrazin dikkatli taşınmalıdır. Çünkü, deriye (doğru) kolaylıkla yerleşir ve kuvvetli zehirlenmeye sebep olur (Smith 1966).

### 1.3.2. Hidrazonealar

Benzofenonhidrazone ( $\text{Ph}_2\text{C}=\text{NNH}_2$ ) ve Pentanon-3-asetilmetylhidrazone ( $\text{Et}_2\text{C}=\text{N}-\text{N}(\text{CH}_3)\text{COCH}_3$ ) örneklerinde olduğu gibi, hidrazonealar aldehit veya keton türevi olarak düşünülür ve türetildikleri aldehit veya ketonun sonuna hidrazone kelimesi getirilerek adlandırılır. Karbamilmethyl-azonalar, özel bir durumdur ve genel olarak semikarbazonalar olarak adlandırılırlar.  $\alpha$ -Diketonların bis- hidrazoneaları genel olarak osazon olarak bilinir.

Hidrazinin iki mol karbonil bileşiği ile reaksiyonundan elde edilen hidrazonealar, azinler (aldazinler ve ketazinler) olarak bilinirler. Bu tip bileşikler karbonil bileşığının sonuna azin kelimesi getirilerek; asetonazin [ $(\text{CH}_3)_2\text{C}=\text{N}-\text{N}=\text{C}(\text{CH}_3)_2$ ] asetaldehitazin ( $\text{phCH}=\text{N}-\text{N}=\text{CHph}$ ) gibi aldazin ve ketazin son eklerini kullanarak adlandırılabilir.

#### 1.3.2.1 Hidrazoneaların özellikleri

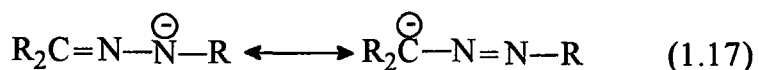
Basit alkil hidrazone türevleri genellikle sıvıdır ve eğer karbon zinciri küçük ise, suda çözünür. Örneğin, formaldehit dimetilhidrazone  $103^{\circ}\text{C}$  de erir ve  $730 \text{ mm}'de 72^{\circ}\text{C}$  de kaynar. Fenilhidrazonealar genellikle katıdır, fakat, alifatik olanların bir çogu oldukça düşük erime noktasına sahiptir. Azinler ise, genellikle katıdır.

Hidrazone oluşumu çift bağ oluşumunda rol oynayan azot atomunun bazikliğini azaltır. Aynı yolla, imin oluşumu aminlerin bazlık kuvvetini azaltır. Bu yüzden, fenilhidrazonealar ve semikarbazonalar, kendilerini meydana getiren

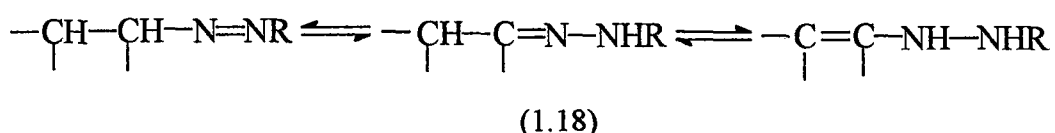
hidrazinlerden ve semikarbazitlerden önemli derecede zayıf bazdır. Semikarbazonlar semikarbazitlerden  $5^{10}$  kat daha zayıftırlar.

Yapısındaki iki azotun çift bağ ile bağlılığı azinler genellikle sulu asitlerde çözünmezler. Bununla beraber aseton azinin  $pK_b$ 'sinin 9 olduğu rapor edilmiştir (Smith 1966).

$p$ -Nitrofenilhidrozanlar ve 2,4-dinitrofenilhidrazone NaOH çözeltisinde çözünecek kadar asidiktirler. Öte yandan hidrazone anyonlarının tautomerik azo bileşiklerinin anyonları ile dengede olabileceği dikkat edilmelidir, (1.17).



Hidrazone larda tautomerizm olasılığı çok uzun zamandan beri tartışılmaktadır. Fakat, çok yakın zamanda bu olasılığı ispatlayabilecek fiziksel metodlar ortaya çıkmıştır. En az bir  $\alpha$ -hidrojenine sahip monosubstitüe hidrazone azo bileşiklerine veya vinil hidrazinlere toutomer olabilir, (1.18) ve genellikle hidrazoneların rastlandığı birçok formun bir veya diğerinin azo tautomeri olduğu sık sık ifade edilmektedir.



Bununla beraber,  $^1\text{H}$  NMR bu söylenenlerin hiçbirinin doğru olmadığını ve gözlenen formların geometrik izomerler, poliformik değişimler veya trimerler olduğunu açıkça göstermiştir (Smith 1966).

Ayrıca, hidrazone yapısı,  $\text{C}=\text{N}$  çift bağından dolayı, geometrik izomere sahip olmalıdır. Bu olay sadece aldehitlerin ve simetrik olmayan keton

hidrazonelarında gözlenebilir. Sınrı örneklər üçün, hidrazoneların farklı formlarını ortaya koymak mümkündür.

Geometrik izomerinin ilk örneği, siklohekzanon-4-karboksilik asidin fenilbenzoilhidrazoneudur. Bu durumda geometrik izomerler birbirinin ayna görüntüsüdür ve 1914'de Mills ve Bain bu bileşigi optik izomerlerini ayırmayı başarmıştır. Ayrıca, yapısal olarak, toutomeriye uygun olmayan benzofenondifenilhidrazonelarının izomerleri elde edilmiştir. Ayrıca, benzil ve benzoin'inizomerik karboetoksi hidrazoneları ayrıstırılmıştır. p-Nitroasetofenonazin'in mümkün olan üç izomeri (*syn-syn*, *syn-anti* ve *anti-anti*) izole edilmektedir.

Hidrazone yapısı bir moleküle renk vermez. Alifatik ketonların dimetilhidrazonelarında olduğu gibi, bir yan grup olmadığı zaman, yakın UV'de 232-234 nm'lerde zayıf bir pik verir.

Hidrazone karbonu aril gurubuna sahip olduğu zaman, UV-absorpsiyon, görünür bölgeye daha yakın olan bölgede ortaya çıkar.

Hidrazoneun yapısındaki C=N çift bağının IR gerilme bandı 1588-1640 cm<sup>-1</sup> civarında ortaya çıkar. Azinlerin C=N çift bağ bantlarında 1610 cm<sup>-1</sup> civarında ortaya çıktığı rapor edilmiştir (Smith 1966).

### 1.3 Çalışmanın Amacı ve Önemi

Hidrazinler, hidrazone, semikarbazone ve mono- ve di-oksimler üzerine çalışmalar oldukça fazladır. Ancak, hidrazinlerin ve semikarbazitlerin *vic*-dioksimlerle türevleri literatürde rapor edilmemiştir.

Bilindiği gibi gerek glioksimhidrazone türevleri gerekse tiyosemikarzon ve semikarzon türevleri günümüzde birçok hastalığın tedavisinde, aktif olarak kullanılmaktadır. Amacımız antibiyotiklerin bakterilere karşı hassaslıklarını kaybettikleri bir devrede, bakterilere hassas olan maddeleri üretmek, bu konuda yapılan çalışmalara katkıda bulunmaktadır.

Bu çalışma üç ana bölümden oluşmaktadır.

Çalışmanın birinci bölümünde, *anti*-kloroglioksimin, -5 °C'de bazik ortamda hidrazin hidrat ile reaksiyonu sonucu *anti*-glioksimhidrazin ( $\text{GH}_2$ ) sentezlendi ve bu maddenin ( $\text{GH}_2$ ) bazı aldehitlerle *vic*-dioksimli hidrazonelar elde edildi.

Literatürde rastlanmayan bu hidrazone, *anti*-glioksimhidrazinin ( $\text{GH}_2$ ) [alkol-su sisteminde, 0-5 °C ve 1:1 oranında] aldehit ve ketonlarla reaksiyonu sonucunda sentezlendi. Sentezlenen bu hidrazonelar aşağıda verilmiştir.

*anti*-Glioksimhidrazin ( $\text{GH}_2$ )

*anti*-2-Pridilaldehitglioksimhidrazone ( $\text{PGH}_2$ )

*anti*-Furfuraldehitglioksimhidrazone ( $\text{FGH}_2$ )

Çalışmanın ikinci bölümünde; tiyosemikarbazit'in *anti*-kloro-glioksim ile reaksiyonundan bir tür oksim-karzon elde edilmektedir. Zorlayıcı şartlar gerektiren bu reaksiyonlar sonucunda  $\alpha$ -oksiminotiyosemikarbazidasetaldehit-tiyosemikarzon ( $\text{TSH}_2$ ) sentezlendi.

Çalışmanın son bölümünde ise; yukarıda elde edilen ligandların zayıf alkali ortamda çeşitli metal katyonları ile reaksiyonu sonucunda çeşitli koordinasyon bileşikleri sentezlendi.

Sentezlenen ligandların yapılarının aydınlatılmasında,  $^1\text{H}$  NMR, IR ve elemental analiz tekniklerinden, komplekslerin yapılarının aydınlatılmasında ise; IR ve elemental analiz verilerinden faydalanılmıştır.

## 2. KULLANILAN MADDELER VE ALETLER

### 2.1 Kullanılan Maddeler

Bu çalışmada, çıkış maddesi olarak kullanılan *amphi-* ve *anti-kloroglioksim* (Raper 1985, Barbieri ve ark. 1993) literatürde belirtildiği şekilde hazırlanmıştır. Deneylerde kullanılan kimyasal maddeler Merck, Fluka ve Riedel firmalarından temin edilmiştir. Ayrıca gerekli olan bazı ara maddeler de laboratuvar şartlarında sentezlenmiştir.

### 2.2 Kullanılan Aletler

İnfared spektrofometresi: Pye-Unicam SP 1025, S.Ü. Fen-Ed. Fak. Kimya Bölümü, KONYA.

<sup>1</sup>H NMR Spektroskopisi: 400-Mhz spektrometer, TÜBİTAK- Temel Bilimler Araştırma Enstitüsü Enstrümental Analiz Laboratuvarı, ANKARA.

Elemental Analiz: TÜBİTAK-Temel Bilimler Araştırma Enstitüsü Enstrümental Analiz Laboratuvarı, ANKARA.

pH-metre: Orion Expondoble Ion Analyzer EA 940, S. Ü. Fen-Ed. Fak. Kimya Bölümü, KONYA

Erime Noktası Tayin Cihazı: Büchi SMP-20, S.Ü. Fen-Ed. Fak. Kimya Bölümü, KONYA

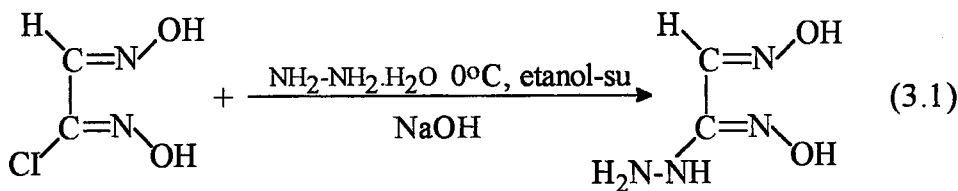
### 3. DENEL BÖLÜM

Bu çalışmada, elde edilen ligandların ve komplekslerinin bazı fiziksel özellikleri, karakteristik IR spektrumları, elemental analizleri ve ligandların  $^1\text{H}$  NMR spektrumları "5. İlgili Tablolar" kısmında, tablo 1-5'de verilmiştir.

#### 3.1 Ligandların Sentezi

##### 3.1.1 *anti*-Glioksimhidrazin ( $\text{GH}_2$ )

$1 \times 10^{-2}$  Mol (0.4 g) NaOH 1 mL suda çözüldükten sonra 10 mL etanol ve 0.6 mL (%80; d = 1.03 g/mL) hidrazinhidrat ilave edilir ve  $0^\circ\text{C}$ 'a kadar soğutulur. Bu soğuk çözelti üzerine yine  $0^\circ\text{C}$ 'de  $1 \times 10^{-2}$  mol (1.225 g) *anti*-kloroglioksim'in 5 mL etanoldeki çözeltisi damla damla ve sürekli karıştırılarak ilave edilir. Çözelti ilavesi tamamlandığında, maddenin reaksiyon kabında çökmeye başladığı görülür. Reaksiyonun tamamlanması için aynı sıcaklıkta 15 dakika daha karıştırıldıktan sonra soğuk olarak süzülür ve soğuk alkolle yıkarak vakumda kurutulur (3.1).



Sentezi yapılan bu madde vakumda ancak bir gün bozunmadan kalabilmektedir. Erime noktası  $71^{\circ}\text{C}$  (bozunma), verim; %91 (1.08 g)

Madde; su, DMF, DMSO, pridin'de çözünmektedir.

### **3.1.2 *anti*-2-Pridilaldehitglioksimhidrazon (PGH<sub>2</sub>)**

$5 \times 10^{-3}$  Mol (0.59 g) *anti*-glioksimhidrazin (GH<sub>2</sub>) 10 mL suda çözüldükten sonra bu çözelti üzerine 3-5 damla asetik asit ilave edilerek, GH<sub>2</sub>'nin tamamen çözünmesi sağlanır. Bu çözelti  $5^{\circ}\text{C}$ 'a kadar soğutulur. Bu soğuk çözelti üzerine yine  $5^{\circ}\text{C}$ 'a kadar soğutulmuş olan  $5 \times 10^{-3}$  mol (0.54 mL) 2-pridilaldehit'in 10 mL etanoldeki çözeltisi aynı sıcaklıkta ve çeker ocakta damla damla sürekli karıştırılarak ilave edilir. Çözeltinin tamamı ilave edildikten sonra oda şartlarında 30 dakika daha karıştırılır. Daha sonra çöken krem renkli madde süzülür, su ile yıkandır ve vakumda kurutulur (3.2).

Erime noktası  $110^{\circ}\text{C}$ , verim; %85 (1.00 g).

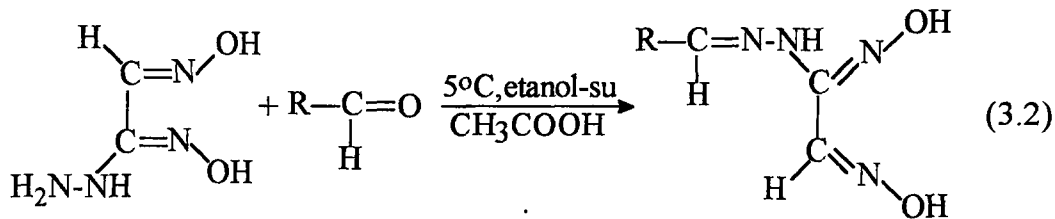
Sentezlenen bu madde; etanol, pridin, DMF, DMSO'de çözünmektedir.

### **3.1.3 *anti*-Furfuraldehitglioksimhidrazon (FGH<sub>2</sub>)**

$5 \times 10^{-3}$  Mol (0.59 g) *anti*-glioksimhidrazin (GH<sub>2</sub>) 10 mL suda çözüldükten sonra bu çözelti üzerine 3-5 damla asetik asit ilave edilerek, GH<sub>2</sub>'nin tamamen çözünmesi sağlanır. Bu çözelti üzerine,  $5 \times 10^{-3}$  mol (0.42 mL) taze destillenmiş furfuraldehit'in 10 mL etanoldeki çözeltisi  $5^{\circ}\text{C}$ 'da damla damla ve sürekli karıştırılarak ilave edilir. İlave işlemi tamamlandıktan sonra oda şartlarında 30 dakika daha karıştırılır, çöken koyu sarı renkli madde süzülür, su ile yıkandır ve vakumda kurutulur, (3.2).

Erime noktası  $150^{\circ}\text{C}$ , verim; %60 (0.59 g).

Sentezlenen bu madde; etanol, aseton, pridin, DMF ve DMSO'de çok çözünmektedir.



R: C<sub>4</sub>H<sub>3</sub>O- veya C<sub>5</sub>H<sub>4</sub>N-

### 3.1.4 α-Oksiminotiyosemikarbazidilasetaldehyitiyosemikarbazon (TSH<sub>2</sub>)

100 mL'lik bir balon içerisinde 10 mL etanol, 10 mL su ve 1 mL derişik HCl asit ilave edilip iyice karıştırılır. Daha sonra bu çözelti üzerine  $1 \times 10^{-2}$  mol (1.225 g) anti-kloroglioksim ilave edilip tekrar karıştırılır ve bu çözelti üzerine  $3 \times 10^{-2}$  mol (2.73 g) tiyosemikarbazit ilave edilir. Hazırlanan bu çözelti geri soğutucu altında sürekli karıştırılmak suretiyle 5 saat kaynatılır. Çözeltinin başlangıçdaki pH'sı sıfırdır. Geri soğutucu altında kaynayan çözelti ilk başta tamamen çözünerken berrak, bir çözelti oluşur, daha sonra açık sarı renkli madde yavaş yavaş çökmeye başlar. Çöken bu açık sarı renkli madde 5 saatin sonunda geri soğutucudan alınarak sıcak olarak süzülür. Daha sonra sıcak etanol ve sıcak su ile iyice yıkanarak vakumda kurutulur.

Erime noktası 215 °C, verim; %55 (1.30 g).

Sentezlenen bu madde; etanolde kısmen, pridin, seyreltik NaOH, DMF, DMSO'de çözünmektedir.

### **3.2 Ligandların Metal Komplekslerinin Sentezi**

#### **3.2.1 GH<sub>2</sub>,, PGH<sub>2</sub>,, FGH<sub>2</sub> ve Ligandlarının Ni(II), Co(II) ve Cu(II) kompleksleri**

2x10<sup>-3</sup> Mol ligand [0.24 g *anti*-glioksimhidrazin (GH<sub>2</sub>) 15 mL suda, 0.42 g *anti*-2-pridilaldehitglioksimhidazon (PGH<sub>2</sub>) 15 mL etanolde, 0.39 g *anti*-furfuraldehitglioksimhidazon (FGH<sub>2</sub>) 15 mL etanolde] çözülür. Bu çözeltilerin üzerine 1x10<sup>-3</sup> mol (0.238 g NiCl<sub>2</sub>6H<sub>2</sub>O ve 0.170 g CuCl<sub>2</sub>2H<sub>2</sub>O) ve 2x10<sup>-3</sup> mol (0.476 g CoCl<sub>2</sub>6H<sub>2</sub>O) metal tuzlarının 20 mL sudaki çözeltileri karıştırarak ilave edilir. Başlangıçta 5.5-6 civarında olan ligand çözeltisinin pH'sı metal tuzlarının ilavesi ile, ligand konsantrasyonuna bağlı olarak, 3-3.5 civarına kadar düşer. 3-3.5 olan pH 5-5.5 oluncaya kadar %1'lik NaOH çözeltisi ilave edilir. 15 dakika daha karıştırıldıktan sonra, sıcak su banyosunda oluşan kompleksin olgunlaşması için 15 dakika daha bekletilir. Tamamen çöken kompleks sıcak olarak süzülür ve sıcak su ile yıkandıktan sonra vakumda kurutulur.

Elde edilen (GH)<sub>2</sub>M, (PGH)<sub>2</sub>M ve (FGH)<sub>2</sub>M, [(M = Ni(II), Co(II) ve Cu(II)] komplekslerine ait bazı fiziksel özellikler ve elemental analiz sonuçları “5. İlgili Tablolar” kısmında verilmiştir.

Sentezlenen kompleksler, DMF ve DMSO'de çözünmektedir.

#### **3.2.2 TSH<sub>2</sub> Ligandının Ni(II), Co(II) ve Cu(II) kompleksleri**

1x10<sup>-3</sup> Mol (0.235 g)  $\alpha$ -oksiminotiyosemikarbazidasetal-dehittiyosemikarbazon (TSH<sub>2</sub>) 20 mL etanolde sıcakta çözülür. Bu çözelti üzerine 1x10<sup>-3</sup> mol (0.2377 g NiCl<sub>2</sub>6H<sub>2</sub>O, 0.238 g CoCl<sub>2</sub>6H<sub>2</sub>O ve 0.1705 g CuCl<sub>2</sub>2H<sub>2</sub>O) metal tuzlarının 20 mL etanoldeki çözeltisi yine aynı sıcaklıkta ve

sürekli karıştırılarak ilave edilir. Başlangıçta 3-3.5 olan pH 3-5 damla trietanol amin ilavesi ile pH 5-5,5 civarına yükselir. Oluşan komplekslerin tamamen çökmesi için 15 dakika daha karıştırıldıktan sonra sıcak olarak süzülür. Süzülen kompleksler önce sıcak etanol ile daha sonrada sıcak su ile yıkanarak vakumda kurutulur.

Elde edilen [(TSNi, TSCo ve TSCu)] Komplekslerine ait bazı fiziksel özellikler ve elemental analiz sonuçları “5. İlgili Tablolar” kısmında verilmiştir.

Sentezlenen kompleksler, DMF ve DMSO’de çözünmektedir.

#### **4. TARTIŞMA VE SONUÇ**

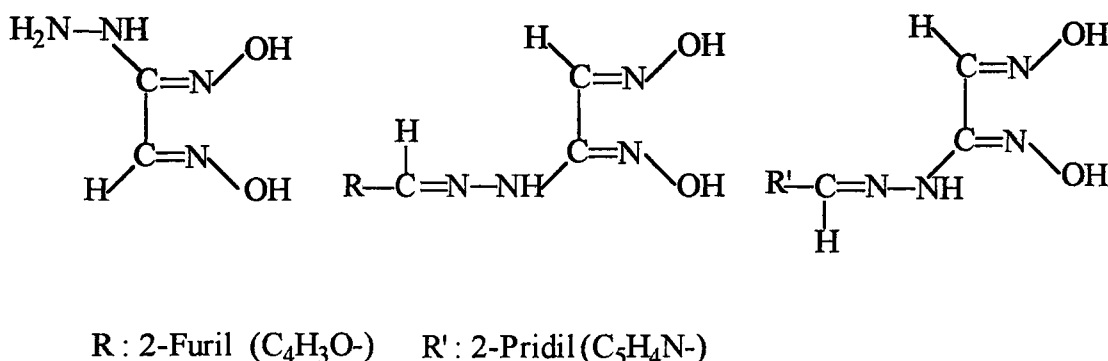
##### **4.1 *anti*-Glioksimhidrazin ( $\text{GH}_2$ ), *anti*-2-Pridilaldehitglioksimhidazon ( $\text{PGH}_2$ ), *anti*-Furfuralaldehitglioksimhidazon ( $\text{FGH}_2$ ) ve Bu Ligandların Ni(II), Co(II) ve Cu(II) Kompleksleri**

Bu çalışmada, *anti*-Glioksimhidrazin( $\text{GH}_2$ ), *anti*-2-Pridilaldehitglioksimhidazon ( $\text{PGH}_2$ ), *anti*-Furfuralaldehitglioksimhidazon ( $\text{FGH}_2$ ) ve  $\alpha$ -oksiminotiyosemikarbazidilasetaldehyitiyosemikarbazon ( $\text{TSH}_2$ ) ligandları elde edilmiş olup, bunların Cu(II), Ni(II) ve Co(II) tuzları ile etkileşimleri sonucunda, M; Cu(II), Ni(II) ve Co(II) olmak üzere,  $(\text{GH})_2\text{M}$ ,  $(\text{PGH})_2\text{M}$ ,  $(\text{FGH})_2\text{M}$  ve  $\text{TSM}$  yapılı kompleksler izole edilmiştir.

Çalışma, anlaşılmaması açısından, iki kısımda incelenebilir.

Birinci kısım, bir *vic*-dioksim türevidir ve çoğu *vic*-dioksim komplekslerinde olduğu gibi bu komplekslerde kare düzlem yapılidir. İkinci kısımda inclenecek olan ligand ( $\text{TSH}_2$ ) oksim türevinden ziyade bir hidazon türevidir ve elde edilmesinden özelliklerine kadar diğer ligandlardan farklıdır.

İlk olarak; *anti*-kloroglioksimin, -5 °C'de, bazik ortamda, alkol-su (4:1) sisteminde hidrazin hidrat ile reaksiyonu sonucu *anti*-glioksimhidrazin ( $\text{GH}_2$ ) sentezlendi. Daha sonra,  $\text{GH}_2$ ;  $\text{CH}_3\text{COOH}$ 'li ve alkol-su (1:1) sisteminde 2-Pridilaldehit ile reaksiyonundan, *anti*-2-pridilaldehitglioksimhidazon ( $\text{PGH}_2$ ) ve furfuraldehit ile reaksiyonundan *anti*-furfuraldehitglioksimhidazon ( $\text{FGH}_2$ ), ligandları ve daha sonra bu ligandların her birinin Ni(II), Co(II) ve Cu(II) iyonları ile vermiş oldukları kompleksleri elde edilmektedir, Şekil 4.1.



Şekil 4.1

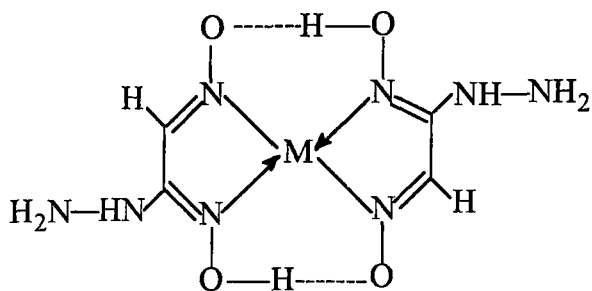
$\text{GH}_2$ ,  $\text{FGH}_2$  ve  $\text{PGH}_2$  ligandlarının DMSO- $d_6$  içerisindeki  $^1\text{H}$  NMR spektrumları incelendiğinde, Tablo 3, -OH protonlarının singlet olarak ( $\text{GH}_2$  için 10.4-10.2 ppm,  $\text{FGH}_2$  için 10.3-10.0 ppm ve  $\text{PGH}_2$  için 10.6-10.4 ppm'de singlet) iki ayrı pik şeklinde kimyasal kayma değeri verdiği gözlenmiştir. Bu değerler bize elde edilen *vic*-dioksimlerin iki farklı değerin olması dolayısıyla *anti*- formunda olduğunu gösterir (Gök ve Demirbaş 1989). Ayrıca  $\text{Ni(II)}$  iyonu ile kırmızı kompleks vermeside bu sonucu destekler mahiyettedir (Chakravorty 1974, Ahsen ve Bekaroğlu 1985). Ligandların DMSO- $d_6$ 'daki çözeltilerine  $\text{D}_2\text{O}$  ilave edildiğinde hemen kaybolan piklerin -OH protonlarına ve zamanla kaybolan piklerin ise hidrazin -NH-'larına ait olduğunu göstermektedir.  $\text{GH}_2$ ,  $\text{PGH}_2$  ve  $\text{FGH}_2$  ligandlarındaki -NH-protonları 11.1 ppm ile 11.5 ppm arasında kimyasal kayma değerleri göstermiştir. Bu değerler literatürdeki N-H protonlarına ait kimyasal kayma değerleri ile uyum içindedir (Ertaş ve ark. 1987, Colthup ve ark. 1990 Silvertein ve ark. 1991) Oksim gruplarına komşu C-H protonları 8.5s-8.6s ppm civarındadır (Burakevich ve ark. 1971, Özcan ve Mirzaoglu 1988) aldehitik -CH protonlarına ait kimyasal kayma değerleri ise, yine aynı bölgede singlet şeklinde gözlenmiştir.

$\text{GH}_2$  ve bundan elde edilen hidrazone'lara ( $\text{PGH}_2$  ve  $\text{FGH}_2$ ) ait IR spektrumları, Tablo 2'de verilmiştir. vic-Dioksimler için, karekteristik olan O-H, C=N, N-H ve N-O gerilme titreşimleri, sırası ile,  $\text{GH}_2$ 'de;  $3290\text{ cm}^{-1}$ ,  $1625\text{ cm}^{-1}$ ,  $3320\text{ cm}^{-1}$  ve  $1000\text{ cm}^{-1}$  lerde  $\text{PGH}_2$ 'de;  $3260\text{ cm}^{-1}$ ,  $1625\text{ cm}^{-1}$ ,  $3450\text{ cm}^{-1}$  ve  $1010\text{ cm}^{-1}$  lerde,  $\text{FGH}_2$ 'de ise ;  $3290\text{ cm}^{-1}$   $1625\text{ cm}^{-1}$ ,  $3430\text{ cm}^{-1}$  ve  $970\text{ cm}^{-1}$  lerde gözlenmektedir. Bu değerler literatürde belirtilen değerler ile uyum içindedir(Chakravorty 1974, Ahsen ve Bekaroğlu 1985, Gök ve Demirbaş 1989).

Bu ligandlardan elde edilen komplekslerin yapılarının aydınlatılmasında IR ve elemental analiz tekniklerinden faydalanyılmıştır. Komplekslerin ve ligandların bazı fiziksel özellikleri ve elemental analiz değerleri Tablo 1'de, IR değerleri ise Tablo 2'de verilmiştir.

$\text{Ni(II)}$ ,  $\text{Co(II)}$  ve  $\text{Cu(II)}$  klorür tuzlarının  $\text{GH}_2$ ,  $\text{PGH}_2$  ve  $\text{FGH}_2$  ligandları ile elde edilen tek çekirdekli komplekslerde metal- ligand oranı 1:2 olup kare düzlem yapıda olduğu anlaşılmaktadır. Dimetilglioksimin  $\text{Ni(II)}$ ,  $\text{Co(II)}$  ve  $\text{Cu(II)}$  komplekslerinin beş üyeli şelat yapısında ve metal iyonunun koordinasyona, oksimdeki azot atomları üzerinden girdiği bilinmektedir. Burada iki dioksim molekülünde birer protonun kopması sonucu (O--H-O) hidrojen köprüsü oluşmuştur. Sentezi yapılan komplekslerde de (O--H-O) gerilim (Burger ve ark. 1965, Panja ve ark. 1991) bandları, sırasıyla,  $(\text{GH})_2\text{M}$  komplekslerinde;  $2320\text{-}2200\text{ cm}^{-1}$  lerde,  $(\text{PGH})_2\text{M}$  komplekslerinde;  $2330\text{-}2200\text{ cm}^{-1}$  lerde ve  $(\text{FGH})_2\text{M}$  komplekslerinde ise;  $2320\text{-}2200\text{ cm}^{-1}$  lerde görülmektedir. Hidrojen bağlarına ait deformasyon bantları  $1700\text{ cm}^{-1}$  civarında görülmektedir. Bu veriler kare düzlem yapılı  $\text{Ni(II)}$ ,  $\text{Co(II)}$ ,  $\text{Cu(II)}$  kompleksleri için verilen değerlerle uyum içindedir (Ertaş ve ark. 1987, Bekaroğlu 1990). Ayrıca, ligandlarda  $1625\text{cm}^{-1}$  civarında gözlenen C=N gerilim titreşimlerinin komplekslerde daha zayıf alanda gözlenmesi, metallerin oksim azotu üzerinden koordinasyona girdiğini göstermektedir. Bu bilgiler ışığında elde edilen komplekslerin  $dsp^2$  hibrit türünde, kare düzlem yapıda

oldukları kanaatine varılmıştır, Şekil 4.2. Bu bilgileri elemental analiz sonuçları desteklemektedir.



Şekil 4.2

Komplekslerin çözünürlüklerinin çok az olması sebebiyle yapı aydınlatılmasında,  $^1\text{H}$  NMR spektroskopisinden yararlanılmıştır. Elemental analiz ve IR verileri, Tablo 1.2 incelendiğinde, komplekslerin tek çekirdekli oldukları görülmektedir.

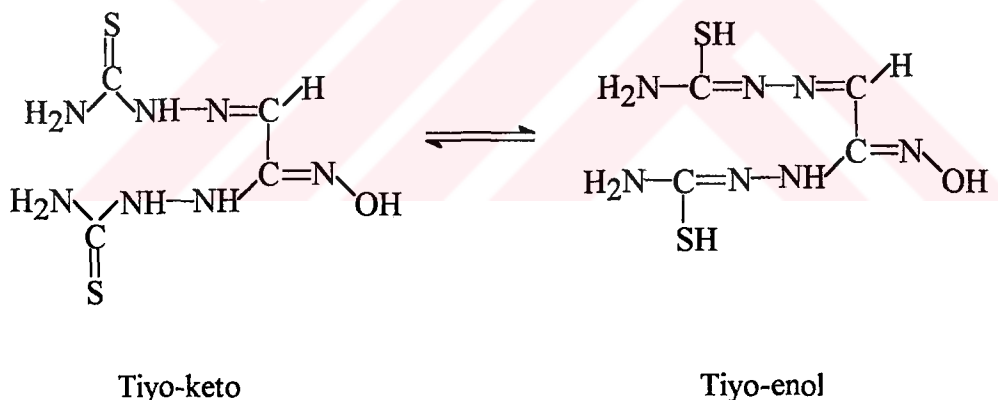
#### **4.2. $\alpha$ -Oximinotriosemikarbazidasetaldehitiyosemikarbazon ( $\text{TSH}_2$ ) ve Bu Ligandin Ni(II), Co(II) ve Cu(II) Kompleksleri**

Çalışmanın son kısmında ise; triosemikarbazitin alkol-su (1:1) sisteminde asidik ortamda, *anti*-kloroglioksim ile geri soğutucu altında uzun süre kaynatılması ile bir tür oksim-karbazon olan  $\alpha$ -oximinotriosemikarbazidasetaldehitiyosemikarbazon ( $\text{TSH}_2$ ) elde edildi. Elde edilen bu maddenin Ni(II), Co(II) ve Cu (II) metal iyonları ile metal-ligand oranı 1:1 olan tek çekirdekli kompleksleri sentezlendi.

Bir oksim-karbazon türevi olan bu ligandin ( $\text{TSH}_2$ ) DMSO-d<sub>6</sub> içerisinde  $^1\text{H}$  NMR spektrumları incelendiğinde, Tablo 3, -OH'ın zayıf alanda singlet şeklinde, 10.1s ppm de kimyasal kayma göstermektedir (Becker 1980).

Çözeltiye D<sub>2</sub>O ilavesi ile bu pikin kaybolması, pik -OH protonlarına ait olduğunun bir delilidir. Hidrazon grubuna komşu C-H protonunun 8.6s ppm'de singlet şeklinde görülmüştür (Koçak ve Bekaroğlu 1984, Burakevich ve ark. 1971). D<sub>2</sub>O ilavesi ile zamanla yavaş yavaş kaybolan NH protonlarına ait kimyasal kayma değeri 11.7q- 11.6q ppm'de quarted şeklinde ve amidik -NH<sub>2</sub> protonlarına ait kimyasal kayma değerleri ise 2.5s ppm singlet olarak gözlenmiştir.

Liganda ait IR spekturumu incelendiğinde, 1630 cm<sup>-1</sup>'de çıkan kuvvetli bant C=N, 870 cm<sup>-1</sup> çıkan kuvvetli bant ise C=S ait karakteristik bantlarıdır (Kuntala ve Guha 1990). 3270 cm<sup>-1</sup> ve 3385 cm<sup>-1</sup>'deki keskin bantlar TSH<sub>2</sub>'deki -NH<sub>2</sub> ve -NH'ın varlığını gösterir. 2550-2600 cm<sup>-1</sup> bölgesinde karakteristik S-H bandının yokluğu tiyo-enol yapısından ziyade tiyo-keto yapısının olduğunu gösterir, Şekil 4.3.

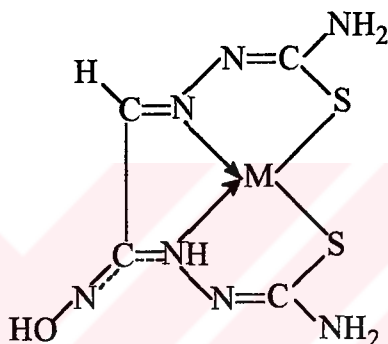


Şekil 4.3

Bu ligandın komplekslerinin IR spektrumları, Tablo 4, incelendiğinde -OH gerilme titreşimlerinin 3150-3130 cm<sup>-1</sup>'erde, C=N gerilme titreşimlerinin 1600-1580 cm<sup>-1</sup>'erde ve N-O gerilme titreşimleri ise, 1015-1000 cm<sup>-1</sup>'erde görülmektedir (Ertaş ve ark. 1987, İrez ve Bekaroğlu 1983).

Liganddaki, C=S'e ait olan bandın ortadan kalkması ve 680-660 cm<sup>-1</sup>'erde C-S-M bağına ait piklerin çıkması, kükürt atomunun C-S-M şeklinde koordinasyona girdiğini gösterir.

Tablo 4'deki komplekslerin analitik verileri (TSNi), (TSCo) ve (TSCu) komplekslerdeki C=N bantları ,TSH<sub>2</sub>'dekinden 30 cm<sup>-1</sup> kadar daha düşüktür. C=S bandı komplekslerde yoktur bu durum ligandın tiyo-enol formunda metal tuzları ile reaksiyona girdiğini gösterir (Kuntala ve Guha 1990), Şekil 4.4.



Şekil 4.4

Sonuç olarak , bu çalışmada *anti*-glioksimhidrazin (GH<sub>2</sub>), iki tane *anti*-glioksimhidrazon (*anti*-PGH<sub>2</sub> ve *anti*-FGH<sub>2</sub>) ve bir oksim-karbazon olan  $\alpha$ -oksiminotiyosemikarbazidilasetaldehydiyo-semikarbazon (TSH<sub>2</sub>) sentezlenmiştir. Bu ligandların Ni(II), Co(II) ve Cu(II) metal iyonları ile kompleksleri izole edilmiştir.

Bu ligandların ve komplekslerinin yapıları <sup>1</sup>H NMR, IR-spektroskopisi ve elemental analiz teknikleri ile aydınlatılmaya çalışıldı.

## 5. İLGİLİ TABLOLAR

**Table 1 GH<sub>2</sub>, PGH<sub>2</sub>, FGH<sub>2</sub>, TSH<sub>2</sub> Ligandlarının ve Komplekslerinin Bazı Fiziksel Özellikleri ve Elemental Analiz Sonuçları**

Bileşik	Formüll	Renk	E.n. <sup>0</sup> C	Verim %	Hesaplanan (Bulunan) %			
					C	H	N	M
GH <sub>2</sub>	C <sub>2</sub> H <sub>6</sub> N <sub>4</sub> O <sub>2</sub>	Sarı	71	90	20.34 (20.59)	5.08 (4.96)	47.46 (47.74)	-
(GH) <sub>2</sub> Ni	C <sub>4</sub> H <sub>10</sub> N <sub>8</sub> O <sub>4</sub> Ni	Kiremit Kırmızı	240	50	16.40 (16.02)	3.42 (3.23)	38.26 (38.19)	20.06 (20.36)
(GH) <sub>2</sub> Co	C <sub>4</sub> H <sub>10</sub> N <sub>8</sub> O <sub>4</sub> Co	Kızıl Kahve	210	55	16.38 (16.27)	3.41 (3.25)	38.23 (38.00)	20.14 (20.08)
(GH) <sub>2</sub> Cu	C <sub>4</sub> H <sub>10</sub> N <sub>8</sub> O <sub>4</sub> Cu	Koyu Kahve	238	52	16.14 (16.06)	3.38 (3.24)	37.65 (37.61)	21.35 (21.53)
PGH <sub>2</sub>	C <sub>8</sub> H <sub>9</sub> N <sub>5</sub> O <sub>2</sub> .2H <sub>2</sub> O	Krem	110	82	39.51 (39.44)	5.35 (5.51)	28.81 (28.67)	-
(PGH) <sub>2</sub> Ni	C <sub>16</sub> H <sub>16</sub> N <sub>10</sub> O <sub>4</sub> Ni	Kızıl Kahve	205	67	40.79 (40.53)	3.40 (3.25)	29.74 (29.63)	12.47 (12.61)
(PGH) <sub>2</sub> Co	C <sub>16</sub> H <sub>16</sub> N <sub>10</sub> O <sub>4</sub> Co	Koyu Kahve	213	54	40.76 (40.48)	3.40 (3.65)	29.72 (29.60)	12.53 (12.14)
(PGH) <sub>2</sub> Cu	C <sub>16</sub> H <sub>16</sub> N <sub>10</sub> O <sub>4</sub> Cu	Siyah	220	58	40.38 (40.55)	3.37 (3.21)	29.44 (29.37)	13.35 (13.21)

Tablo 1'in devamı

Bileşik	Formül	Renk	E.n. <sup>0</sup> C	Verim %	Hesaplanan (Bulunan) %				
					C	H	N	M	S
FGH <sub>2</sub>	C <sub>7</sub> H <sub>8</sub> N <sub>4</sub> O <sub>3</sub>	Koyu Sarı	150	60	42.86 (42.69)	4.08 (4.32)	28.57 (28.48)	-	-
(FGH) <sub>2</sub> Ni	C <sub>14</sub> H <sub>14</sub> N <sub>8</sub> O <sub>6</sub> Ni	Bordo	284	83	37.44 (37.25)	3.12 (3.03)	24.96 (24.68)	13.08 (12.98)	-
(FGH) <sub>2</sub> Co	C <sub>14</sub> H <sub>14</sub> N <sub>8</sub> O <sub>6</sub> Co	Koyu Kahve	245	66	37.42 (38.38)	3.12 (3.45)	24.94 (24.68)	13.14 (13.08)	-
(FGH) <sub>2</sub> Cu	C <sub>14</sub> H <sub>14</sub> N <sub>8</sub> O <sub>6</sub> Cu	Kahverengi	262	75	37.05 (36.88)	3.09 (3.38)	24.70 (24.48)	14.00 (14.25)	-
TS <sub>2</sub> H <sub>2</sub>	C <sub>4</sub> H <sub>9</sub> N <sub>7</sub> OS <sub>2</sub>	Sarı	215	55	20.42 (20.28)	3.83 (3.46)	41.70 (41.64)	-	27,23 (27.14)
TSNi	C <sub>4</sub> H <sub>5</sub> N <sub>7</sub> OS <sub>2</sub> Ni	Açık Kahve	320	73	16.57 (16.26)	1.73 (1.60)	33.83 (33.68)	20.26 (20.19)	22.09 (21.89)
TSCo	C <sub>4</sub> H <sub>5</sub> N <sub>7</sub> OS <sub>2</sub> Co	Yeşil	330	63	16.30 (16.19)	1.70 (1.43)	33.28 (33.22)	21.56 (21.47)	21.73 (21.35)
TSCu	C <sub>4</sub> H <sub>5</sub> N <sub>7</sub> OS <sub>2</sub> Cu	Koyu Kahve	325	60	16.55 (16.31)	1.72 (1.67)	33.79 (33.22)	20.35 (20.25)	22.07 (22.00)

**Table 2** GH<sub>2</sub>, PGH<sub>2</sub>, FGH<sub>2</sub> Ligandlarının ve Komplekslerinin IR Değerleri (cm<sup>-1</sup>)

Bileşikler	v(NH <sub>2</sub> )	v(N - H)	v(O - H)	v(C = N)	v(C = N)	v(N - O)	v(C - H)	v(C - H)	v(C - H)	v(C - H)	v(OH - -O)
	Oksim	Hidrazon		Alifatik	Aromatik		Aldehitik				
GH <sub>2</sub>	3340	3320	3290	1625	-	1000	2910	-	-	-	-
(GH)₂Ni	3330	3300	-	1620	-	990	2920	-	-	-	2200
(GH)₂Co	3340	3310	-	1615	-	980	2910	-	-	-	2300
(GH)₂Cu	3340	3300	-	1620	-	990	2910	-	-	-	2320
PGH <sub>2</sub>	-	3450	3260	1625	1670	1010	2910	3060	2930	-	-
(PGH)₂Ni	-	3400	-	1610	1640	1000	2920	3010	2920	-	2200
(PGH)₂Co	-	3410	-	1610	1645	990	2910	3010	2900	-	2320
(PGH)₂Cu	-	3410	-	1615	1645	990	2910	3000	2910	-	2330
FGH <sub>2</sub>	-	3430	3290	1625	1650	970	2940	3040	2920	-	-
(FGH)₂Ni	-	3400	-	1615	1645	970	2830	3030	2910	-	2320
(FGH)₂Co	-	3410	-	1640	1640	970	2840	3040	2890	-	2300
(FGH)₂Cu	-	3420	-	1620	1640	965	2840	3040	2910	-	2200

**Table 3 Ligandların DMSO - d<sub>6</sub> İçindeki <sup>1</sup>H NMR Spectrum Değerleri, δ (ppm)**

Bileşikler	O - H <sup>a</sup>	N - H <sup>a</sup>	N = CH(Aldehit)	-NH <sub>2</sub>	CH(Alifatik)	CH (Furan)	CH (Pridin)
GH <sub>2</sub>	10.4-10.2 (2H s)	11.1 (1H t)	-	-	8.5 (1H s)	-	-
PGH <sub>2</sub>	10.6 - 10.4 (2H s)	11.5 (1H s)	8.2 (1H s)	-	8.6 (1H s)	-	8.5(1H q) 8.0(2H m) 7.4(1H q)
FGH <sub>2</sub>	10.3 - 10.0 (2H s)	11.2 (1H s)	7.9 (1H s)	-	8.5 (1H s)	7.3(1H q) 6.4(1H q) 7.6(1H q)	-
TSH <sub>2</sub>	10.1 (1H s)	11.7 - 11.6 (2H q)	-	2.5 (4H s)	8.6 (1H s)	-	-

<sup>a</sup>D<sub>2</sub>O ilavesi ile kaybolan pikler, s; singlet, d; doublet, t; triplet, q; quattred, m; multiplet

**Table 4**  $\text{TS}\text{H}_2$  Ligandının ve Komplekslerinin IR Değerleri ( $\text{cm}^{-1}$ )

Bileşikler	-NH	-NH <sub>2</sub>	C - H	-OH	C - S	C = N	C = S	N - O	N - N
(Alifatik)									

TSH <sub>2</sub>	3385	3270	2950	3200	-	1630	870	990	1060
TSNi	3330	3240	2940	3150	670	1580	-	1010	1040
TSCu	3320	3260	2940	3150	680	1600	-	1000	1040
TSCo	3325	3250	2950	3130	660	1590	-	1015	1040

## 6. ÖZET

Bu çalışmada, litaretürde rastlanmayan dört adet yeni ligand ve bu ligandların bazı geçiş metalleri ile kompleksleri sentezlendi. Bu ligandlar; *anti*-glioksimhidrazin ( $\text{GH}_2$ ), *anti*-2-pridilaldehitgliok-simhidrozon ( $\text{PGH}_2$ ), *anti*-furfuraldehitglioksimhidrazon ( $\text{FGH}_2$ ) ve  $\alpha$ -oksiminotiyosemikarbazidilaset-aldehittiyyosemikarbozon ( $\text{TSH}_2$ )'dir

Çalışmanın birinci kademesinde, *anti*-kloroglioksimin alkol-su (4:1) sisteminde, hidrazin hidrat ile reaksiyonu sonucu  $\text{PGH}_2$  ve  $\text{FGH}_2$  gibi *vic*-dioksimli hidrazon ligandları sentezlendi. Bu ligandların  $\text{PGH}_2$  ve  $\text{FGH}_2$  Ni(II), Co(II) ve Cu(II) iyonları ile metal-ligand oranı 1:2 olan tek çekirdekli kompleksleri izole edildi.

Çalışmanın ikinci kademesinde, *anti*-kloroglioksimin, alkol-su (1:1) sisteminde, tiyosemikarbazit ile reaksiyonu sonucu bir tür oksim-karbazon olan  $\alpha$ -oksiminotiyosemikarbazidilasetaldehittiyyosemikarbozon ( $\text{TSH}_2$ ) ligandi sentezlendi. Bu ligandın Ni(II), Co(II) ve Cu(II) iyonları ile metal-ligand oranı 1:1 olan tek çekirdekli kompleksleri elde edildi. Bunların yapıları,  $^1\text{H}$  NMR, IR Spektroskopisi, elemental analiz teknikleri ile aydınlatıldı.

## 7. KAYNAKLAR

- Bekaroğlu, Ö., 1972. "Koordinasyon Kimyası", *İ.Ü. Kimya Fak. Yayımları*, İst.
- Bekaroğlu, Ö., 1974. "Reactions and Mechanism of complex Formation and Rearrangement from "Cobaltoxime" with New ligands", *Chemical. Acta, Turcica*, 2, 17-28.
- Bekaroğlu , Ö., 1990. "Sübstitüe Makrosiklik Maddeler ve Komplekslerin Sentezi, Yapı ve Özelliklerinin Spektroskopik Yöntemle İncelenmesi", Ondokuz Mayıs Üniversitesi, *Fen Dergisi özel sayısı*, 2.(1), 41-50.
- Gül, A., and Bekaroğlu, Ö., 1982. " The Synthesis and Complex Formation of 5,6-Dihidrocyclopent(F,G)Acenophylene-1,2-Dione Dioxime", *Synth. React., Inorg. Met.-Org. Chem.*, 12 , 889
- Gül, A., and Bekaroğlu, Ö., 1983. "Synthesis of N,N'-Bis(4'-benzo[15-Crown-5])diaminoglyoxime and its Complexes with Cu(II), Ni(II), Co(II), Pt(II), Pd(II) and UO<sub>2</sub>(VI)", *J.Chem. Soc. Dalton Trans*, 2537.
- Gök, Y., 1981. " Yeni  $\alpha$ -Dioksim Sentezleri, Geometrik İzomerleri ve Bazı Metallerle Kompleks Formasyonlarının incelenmesi", *Doktora Tezi*, Karadeniz Teknik Üniversitesi, Trabzon.
- Gök.Y., and Bekaroğlu, Ö., 1982. "The synthesis and Complex Formation of Stereoisomers of Some New  $\alpha$ -Dioximes", *Synth React. Inorg. Met-Org. Chem.*, 12, 889.
- Gök, Y., and Demirbaş, A., 1989. "The Synthesis and Complex Formation of Dibenzo [e,k]-2,3-Bis(hydroxyimino)-1,4-Diaza-7,10-Dithia-2,3,8,9-Tetrahydrocyclododecene", *Synth. React. Inorg. Met.-Org. Chem.*, 19, 681.
- Gök. Y., Ertepınar, H., and Yıldız, S.Z., 1990. The Spectroscopic Investigation of *amphi*-, *anti*- isomerism and Interconversion in a Novel *vic*-Dioxime and its Complexes, *Spectroscopy Letters*, 23(6), 713-725.
- Gök, Y., and Özcan, E., 1991. "Synthesis and characterization of 2,3-bis(hydroxyimino)-1,2,3,4-tetrahydropyrido[2,3-b]pyrazine and its nickel(II), cobalt(II), copper(II), palladium(II), cadmium(II) and cobalt(III) complexes", *Transition Met. Chem.*, 16, 393-396.

- Koçak, M., and Bekaroğlu, Ö., 1984. "Synthesis of Ethane-1,2-Bis(Thioglyoxime) and its complexes with Nickel(II), Copper(II), Cobalt(II), Cadmium(II), and Uranyl(VI)", *Synth. React. Inorg. Met-Org. Chem.*, 14, 689-701.
- Koçak, M., and Bekaroğlu, Ö., 1985. "The Synthesis and Complex Formation of N-(2-methylpyridyl)aminoglyoxime", *Synth. React. Inorg. Met-Org. Chem.*, 15, 479-491.
- Ertaş, M., Koray, A.R., Ahsen, V., and Bekaroğlu, Ö., 1986. "Synthesis of Diferrrocenylglyoxime and Some of its Transition Metal Complexes", *Journal of Organometallic Chemistry*, 317, 301-306.
- Ertaş, M., Koray, A.R., Ahsen, V., and Bekaroğlu, Ö., 1987. "Synthesis of Bis(ferrocenylamino)glyoxime and its Nickel(II) Complex", *Journal of Organometallic Chemistry*, 333, 383-385.
- Ertaş, M., Ahsen, V., Gül, A., and Bekaroğlu, Ö., 1987. "Synthesis of novel [10]ferrocenophanedioxime with Bridge Heteroatoms and of nickel(II) Complexes", *Journal of Organometallic Chemistry*, 335, 105-108.
- Ertaş, M., Koray, A.R., Ahsen, V., and Bekaroğlu, Ö., 1987. "A Novel Dithioferrocenophane with a vic-Dioxime Moiety in The Bridging Chain", *Journal of Organometallic Chemistry*, 319, 197-199.
- Ahsen, V., and Bekaroğlu, Ö., 1985. "Synthesis of 1,3-diphenylamine-4,5-bis(hydroximino)imidazolyne and its Complexes with Nickel(II), Cobalt(II), Copper(II), Palladium(II) and Uranyl(VI)", *Synth. React. Inorg. Met.-Org. Chem.*, 15, 61.
- Ahsen, V., Gökçeli, F., and Bekaroğlu, Ö., 1987. "Synthesis of SS'-Bis(4'-benzo[15-crown-5])dithioglyoxime and its Complexes with Copper(II), Nickel(II), Cobalt(II), Cobalt(III), Palladium(II), Platinum(II), Platinum(IV)", *J. Chem. Soc. Dalton Trans.*, 1827.
- Ahsen, V., Gürek, A., Gül, A., and Bekaroğlu, Ö., 1990. "Synthesis of a 13-Membered Macroyclic Tetrathiadioxime and its Mono- and Tri- nuclear Complexes with Tetrahedrally Co-ordinated Palladium(II)", *J. Chem. Soc. Dalton Trans.*, 5.
- İrez, G., and Bekaroğlu, Ö., 1983. "The Synthesis and Complex Formation of Some New Substituted Amino-, Diamino- Glyoximes", *Synth. React. Inorg. Met.-Org. Chem.*, 13, 781-797.

- Garg, B.S., and Jain, V.K., 1989. "Evaluation of Thermodynamic Parameters and Stability constants of Bivalent Metal Complexes of Biologically Active o-Vanillinsemicarbazone", *Thermochimica Acta.*, 138, 21-25.
- Garg, B.S., Ghosh, S., Jain, V.K., and Singh, P.K., 1990. "Evaluation of Thermodynamic Parameters of Bivalent Metal Complexes of 2-Hydroxyacetophenonethiosemicarbazone (2-Hats)", *Thermochimica Acta*, 157, 365-368.
- Garg, B.S., Kurup, M.R.P., and Jain, S.K., 1991. "Characterisation of Nickel(II) complexes of a Substituted 2-acetylpyridine Thiosemicarbazone by Electronic and NMR Spectral Studies", *Transition Met. Chem.*, 16, 111-113.
- Schrauzer, G.N., and Windgassen, R.J., 1966. "Alkylcobaloximes and Their Relation to Alkylcobalamines", *J. Am. Chem. Soc.*, 88, 3738.
- Schrauzer, G.N., and Windgassen, R.J., 1967. "On Hydroxyalkylcobaloximes and Their Mechanism of a Cobamide Dependent Diol Dehydrase", *J. Am. Chem. Soc.*, 89, 143-147.
- Karataş, İ., Uçan, H.İ., and İrez, G., 1992. "Synthesis of Some Substituted Bis(vic-dioximes) and Their Polymeric Metal Complexes", *Chimica Acta Turcica*, 20, 167.
- Karataş, İ., İrez, G., Sezgin, M., Uçan, H.İ., and Bedük, A.D., 1991. "The Synthesis of Some New Bis(1,2-dioximes) and Their Some Polymeric Metal Complexes" *Synth. React. Inorg. Met.-Org. Chem.*, 21, 1031.
- Karataş, İ., and İrez, G., 1993. "Synthesis of Some Polyamidoximes and Their Complexes with Ni(II), Co(II), and Cu(II) Salts", *Macromolecular Reports*, A30 4, 241-249.
- Kumar, A., Usha., Chandra, S., 1993. "Cobalt(II) Complexes of some Semicarbazones and Thiosemicarbazones", *Synth. React. Inorg. Met.-Org. Chem.*, 23(4), 671-684.
- Kumar, U.A., and Chandra, S., 1993. "Semicarbazone and Thiosemicarbazone Chromium(III) Complexes" *Transition Met. Chem.*, 18, 342-344.
- Burger, K., Ruff. I., Ruff. F., 1965. "Infrared and Ultra-Violet Spectrophotometric Study of The Dimethylglyoxime Complexes of Transition Metals", *J. Inorg. Chem.*, 27, 179.
- Burger, K., 1973. "Coordination Chemistry Experimental Methods", *London Butter Worths*, 122, London.

Hüseyinzade, A., İrez, G., 1990. "Bazı Aminoglioksimlerin Ka Sabitlerinin Tayini", *S.Ü. Fen Edebiyat Fakültesi, Fen Dergisi*, 10, 16.

Hosseinzadeh, A., and İrez, G., 1991. "Synthesis of Five New Substituted Aryldiaminoglyoximes and Their Complexes with Copper(II), Nickel(II) and Cobalt(II)", *Synth. React. Inorg. Met.-Org. Chem.*, 21, 301.

Serin S., and Bekaroğlu, Ö., 1983. "Synthesis Complex Formation of Stereoisomers of 1,3-Diphenyl-2-thioxo-4,5-bis(hidroxyimino)imidazoline", *Z. Anorg. Allg. Chem.*, 496, 192

Tan, N., and Bekaroğlu, Ö., 1983. "Synthesis of Some Organometallic Compounds of 1,2-Acenaphthylenè Dione Dioxime and Comparison with B<sub>12</sub> Model Compounds", *Synth. React. Inorg. Met.-Org. Chem.*, 13, 667-682.

Karadeniz, K., and Bekaroğlu, Ö., 1983. "The Synthesis and Complex of Four New Macroyclic *yic*-Dixoimes", *Synth. React. Inorg. Met.-Org. Chem.*, 13, 1029.

Bank. C., and Bekaroğlu, Ö., 1983. "The Synthesis and Complex Formation of Dibenzo[e,k]-2,3-Bis(hydroxyimino)-1,4,7,10-Tetraaza-2,3,8,9-Tetrahydrocylodecene", *Synth. React. Inorg. Met.-Org. Chem.*, 13, 1047-1058.

"Metal Complexes May be Better Anticancer Drugs", *Chem. and Eng.*, News April 19, 36, 1982.

Tschugaeff, L., 1907. "Cobaltdioxime (II). Communication on Complex Compounds", *Ber. Deutsch. Chem. Ges.*, 40, 3498.

Chakravorty, A., 1974. "Structure Chemistry of Transition Metal Complexes of Oximes", *Coor. Chem. Rev.*, 13, 1-46.

Smith, P.A.S., 1966. "The Chemistry of open Chain Organic Nitrogen Compounds", Vol. 2, 29-68, New York.

Nesmeyanov, A.N., and Nesmeyanov, N.A., 1974 "Fundamentals of Organic Chemistry", Vol. 2, 166, *Moskow Mir Published* (1976).

Papafil, M.A., Kleinstein, A., and Macovei, 1956. "The Colorimetric Determination of Copper with Diphenyldi-O-tolyloxamidine", *Analele Stiint Univ. Al.I. Cuza Lasi, Sect, I(N.S.)* 2, 241-250.

Avram, M., and Mateescu, GhD., 1972. "Infrared Spectroscopy". New York, Willey- Interscience.

Pata, S., 1970. "The Chemistry of The Carbon Nitrogen Double Bond", 386 London.

- Uçan, H.I. and Mirzaoğlu, R., 1990. "Synthesis and Complexes Formation of six New Unsymmetrical *vic*-Dioximes, *Synth. React., Inorg. Met.-Org. Chem.*, 20, 437-449.
- Özcan, E., and Mirzaoğlu, R., 1988. "Synthesis of four New Substituted Arylaminoglyoximes and Their Complexes with Copper(II), Nickel(II), Cobalt(II), and Palladium(II)", *Synth. React. Inorg. Met.-Org. Chem.*, 18, 559-574.
- Deveci, M.A., Hosseinzadeh, A., and İrez, G., 1991. "Synthesis of Four new Substituted Bis(diaminoglyoximes) and Their Complexes with Some Transition Metals" *Synth. React. Inorg. Met.-Org. Chem.*, 21, 1073.
- Mercimek, B., ve Özcan, E., 1990. "Yeni *vic*-Dioksimlerin Sentezi ve Komplekslerinin Spektroskopik Metodla incelenmesi", *Ondokuz Mayıs Üniversitesi, Fen Dergisi Özel Sayısı*, 2(1), 231-237.
- Caton, J. E., and Banks, C.V., 1967. "Hydrogen Bonding in some Copper(II) and Nickel(II) *vic*-Dioximes", *J. Inorg. Chem.*, 6, 1670.
- Britzinger, H. and Titzmann, R., 1952. Notiz über einige halogenierte aliphatische Oxime", *Ber. Deutsch. Chem. Ges.*, 85, 345.
- Grundman, C., Mini, V., Dean, J.M., and Frommeld, H. D., 1965. "Dicyan-di-N-oxyd", *Ann. Chem.*, 687, 191.
- Akazome, M., Tsuji, Y. and Watanabe, Y., 1990. "Ruthenium Complexes Catalyzed Selective Deoxygenation of Ketoximes to Ketimines", *Chem. Letters*, 4, 635.
- Padhy, S., and Kauffman, G.B., 1985. "Transition Metal Complexes of Semicarbazones and Thiosemicarbazones". *Coord. Chem. Rev.*, 63, 127-160.
- Singh, R.B., Garg, B.S., and Singh, R.P., 1978. "Analytical Applications of Thiosemicarbazones and Semicarbazones: A Review.", *Talanta.*, 25, 619-632.
- Campbell, M.J.M., 1975. "Transition Metal Complexes of Thiosemicarbazine and Thiosemicarbazones", *Coord. Chem. Rev.*, 15, 279-319.
- Smith, P.A.S., 1966. "*Hydrazine Derivatives*" QD 412.NI.SG. Vol.2, 119-201, New-York.
- Klayman, D.L., and Lin, A.I.J. 1984. "Thiocarbonyl-Activated Transamination. A Facile Synthesis of N<sup>4</sup>-mono and N<sup>4</sup>,N<sup>4</sup>-Disubstituted Thiosemicarbazones", *Org. Prep. Proced. Int.*, 16(2), 79-83.

- Abuel-Reash G.M., Kenawy-IMM., Elayaan-U., Khattabma., "1994. "Synthesis and Characterization of Ehromium(III), Manganese(II), Iron(III), Cobalt(II), Nickel(II), Copper(II), Cadmium(II) and Dioxouranium(VI) Complexes of 4(2-Thiosemicarbazone", *Ind. J. of Chem.*, 33, 914-918.
- Ainscough, E.W., Brodie, A.M., Ranford.J.D., Waters, J.M., 1991. "Preparation and Characterization of Complexes of the Antitumour Copper(II) 2-Formyl pyridine Thisemicarbazone (HL) System and the Single-Crystal X-Ray Structures of [{Cu(HL)(CF<sub>3</sub>CO<sub>2</sub>)<sub>2</sub>}<sub>2</sub>] and [Cu (HL) (H<sub>2</sub>O)(ClO<sub>4</sub>)<sub>2</sub>.2H<sub>2</sub>O", *J. Chem. Soc. Dalton Trans.*, 8, 2125-2131.
- Raper, E.S., 1985. "Complexes of Heterocyclic Thione Donors", *Coord. Chem. Rev.*, 61, 115-184.
- Barbieri, R.S., Beraldo, H.O., Filgueirasrisi, C.A.L., Abras, A., Nixon, J.F., and Hitchcock, P.B., 1993. "The Reaction of 2-Formyl pyridine Thiosemicarbazone (HFPT) with tin Tetrahalides. Crystal and Molecular Structure of [ SnCl<sub>3</sub>(FPT)]", *Inorg. Chim. Acta*, 206, 169-172.
- Dhumwad, S.D., and Goudar, T.R., 1993. "Synthesis and Characterization of Lanthanide (III) Complexes with 3,4-Methylenedioxybenzaldehyde", *Polyhedron*, 12, 2809-2813.
- Dhumwad, S.D., Gudasi, K.B., Goudar, T.R., 1994. "Synthesis and Structural Characterization of Morpholinoacetyl)-N<sup>4</sup>-Phenyl Thiosemicarbazide and 3,4-Methylenedioxybenzaldehyde Thiosemicarbazone with Oxovanadium(IV), Chromium(III), Manganase(II), Iron(III), Cobalt(II), Nickel(II), Copper(II), Cadmium(II), Uranium(VI), Thorium(IV) and Silicon(IV)", *Ind. J.of. Chem.*, 33A, 320-324.
- Patel, P.S., Ray, A., and Patel, M.M., 1992. "CNDO/2 Calculations for  $\alpha$ -oximinoacetacetnilide Thiosemicarbazone and Synthesis and Characterization of some Metal chelates Derived from it", *Proc. Indian Acad. Sci. (Chem.Sci.)*, 104(4), 471-477.
- Patel, P.S., Ray, R.M., and Patel, M.M., 1993. "Synthesis and structural Characterization of Nickel(II), Cobalt(II), Zinc(II), Manganese(II), Cadmium(II) and Uranium(VI) complexes of  $\alpha$ -Oximinoacetacet-o/p-anisidine Thiosemicarbazone", *Ind. Jour. of Chem.*, 32A, 597-600.
- Bhatia, S.C., Gautam, P., Chatrath, A.K., and Jain, P.C., 1993. " The Crystal and Moleculer Structure of 2-Formylfuran Thiosemicarbazone", *Ind. Jour. of Chem.*, 32B, 1237-1240.
- Ferrari, M.B., Fava, G.G., Tarasconi, P., Albertini, R., Pinelli, S., and Starcich, R., 1994. "Synthesis, Spectroscopic and Structural Characterization, and Biological Activity of Aquachloro (Pyridiozal

Thiosemicarbazone) Copper(II) Chloride”, *J.of. Ing. Biochem.*, 53,(1), 13-25.

West, D.X., and Liberta, A.E., 1993. “Thiosemicarbazone Complexes of copper(II) Structural and Bioglogical Studies”, *Coord. Chem. Rev.*, 123, 49-71.

Dhumwad, S.D., Gudasi, K.B., Goudar, T.R., 1994. “Synthesis and Structural Characterization of Morpholinoacetyl)-N<sup>4</sup>-Phenyl Thiosemicarbazine and 3,4-Methylenedioxybenzaldehyde Thiosemicarbazone with Oxovanadium(IV), Chromium(III), Manganese(II), Iron(III), Cobalt(II), Nickel(II), Copper(II), Cadmium(II), Uranium(VI), Thorium(IV) and Silicon(IV)”, *Ind. J.of. Chem.*, 33A, 320-324.

Abras, A., Beraldo, H., Fantini, E.O., Borges, R.H.U., Rocha, M.A.DA., Tosi, L., 1990. “Spectroscopic Studies of Metal Complexes Containing  $\pi$ -Delocalized Sulfur Ligands. Mössbauer and Kinetic Studies of Iron(II) and Iron(III) Complexes of Antitumor Agent 2-Formylpyridine Thiosemicarbazone”, *Inorg. Chim. Acta*, 172, 113-117.

Kuntala, DE., and Guha, A.K., 1990. “2-Benzoyl pyridine Thiosemicarbazone and its Complexes”, *Ind. Journ. of Chem.*, 29, 605-607.

Atalay, T., Özkan, E., 1994. “Thermodynamic Stabilities. Thermodynamic Parameters of some Complexes of 4-Morpholin-acetophenone 4-phenyl-3-Thiosemicarbazone”, *Thermochimica Acta*, 246, 193-197.

Kanagaraj, G., and RAO, G.N., 1993. “Synthesis and Characterization of complexes of Cobalt(II), Nickel(II), Zinc(II), Cadmium(II) and Mercury(II) with -Acetamidobenzaldehyde Thiosemicarbazone”, *Polyhedron.*, 12(4), 383-387.

Pandeya, S.N., and Dimmock, J.R., 1993. “Recent Evaluations of Thiosemicarbazones and Semicarbazones and Related Compounds for Antineoplastic and Anticonvulsantactivities”, *Pharmazie*, 48, 659-666.

Burakevich, J.V., Lore, A.M., and Volpp, G.P., 1971. “Phenylglyoxime Separation, Characterization, and Structure of Three Isomers”, *J.of Org. Chem.*, 29, 482

Silverstein, R. M., Clayton Bassler, G., Morril, Terence. C., Wiley, J., and Sons, Inc., 1991. “Spectrometric Identification of Organic Compounds”, *Fifth Edition*, John WILEY& Sons, Inc.

Colthup, Norman. B., Daly, Lawrence. H., Wiberley, Stephen. E., 1990. “Introduction to Infrared and Raman Spectroscopy”, *Third Edition*, Academic Press.

Panja, P.K., Bala, S., Pal, C., 1991. "Infrared Spectroscopic Studies of Dimethylglyoxime Chelates of Ni(II), Co(II), Cu(II), Pd(II) and Pt(II)", *J. of Molecular Structure*, 249, 277.

Becker, Edwin. D., 1980. "High Resolution NMR Theory and Chemical Application", *Second Edition. Academic Press*.

## 8. ÖZGEÇMİŞ

Konya'nın Ereğli İlçesinde 1962 yılında doğan Nursabah SARIKAVAKLI ilk, orta ve lise tahsilini aynı yerde tamamladıktan sonra 1987 yılında S. Ü Fen-Edebiyat Fakültesi Kimya Bölümüne kaydoldu. Haziran 1991 yılında kimyager olarak mezun oldu.

1991 yılında S. Ü. Fen Bilimleri Enstitüsü Kimya Anabilim Dalı'nda "Yüksek lisans" öğrenimine başladı. Aynı yıl S. Ü. Fen Edebiyat Fakültesi Kimya Bölümü Anorganik Kimya Anabilim Dalı araştırma görevliliğine atandı. 1993 yılında mezun oldu. 1994 yılında aynı enstitüde "Doktora" öğrenimine başladı.

1996 yılında Muğla Üniversitesi Fen-Edebiyat Kimya Bölümünde Araştırma Görevlisi olarak atandı ve halen aynı görevi yapmaktadır.